

ABRH – Associação Brasileira de Recursos Hídricos
X ENAU – X Encontro Nacional de Águas Urbanas
Sao Paulo, SP 18/09/2014

Palestra:

**O Futuro dos Termos de Referência de Planos
Diretores de Águas Urbanas:
Lições, aprendizados e oportunidades**



Eduardo Mario Mendiondo



Palestra:

O Futuro dos Termos de Referência de Planos Diretores de Águas Urbanas: Lições, aprendizados e oportunidades

Eduardo Mario Mendiondo

Conteúdos

Motivação – por que uma nova geração de planos diretores de águas urbanas?

Lições do passado – como valorizar melhor erros e falhas?

Aprendizados do presente – como usufruir do contexto legal e técnico?

Oportunidades para o futuro – como planejar estrategicamente?

Síntese

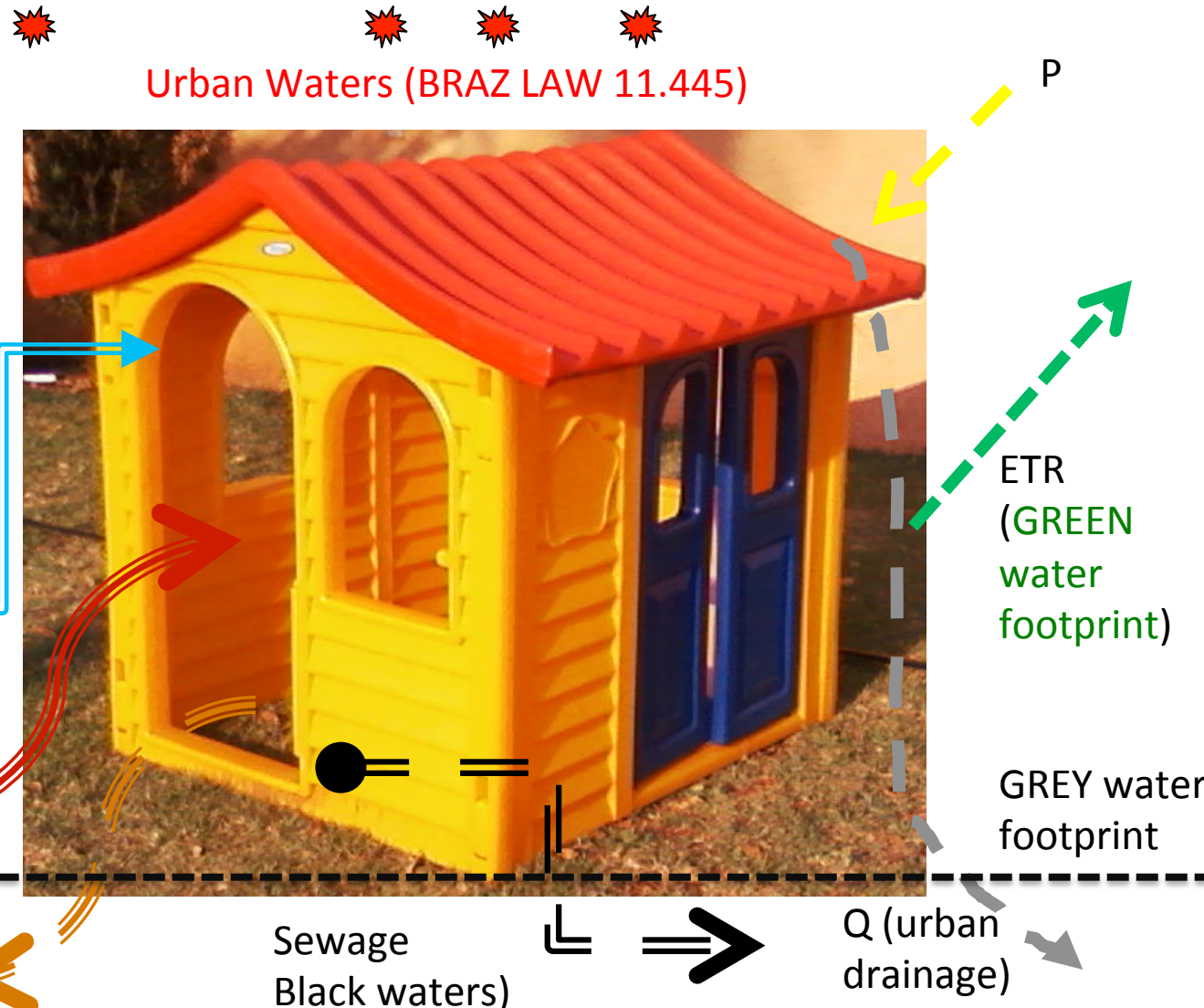
Gaming generations of urban water balances Different approaches for environmental systems...

1st G (traditional) : $P = ETR + Q$

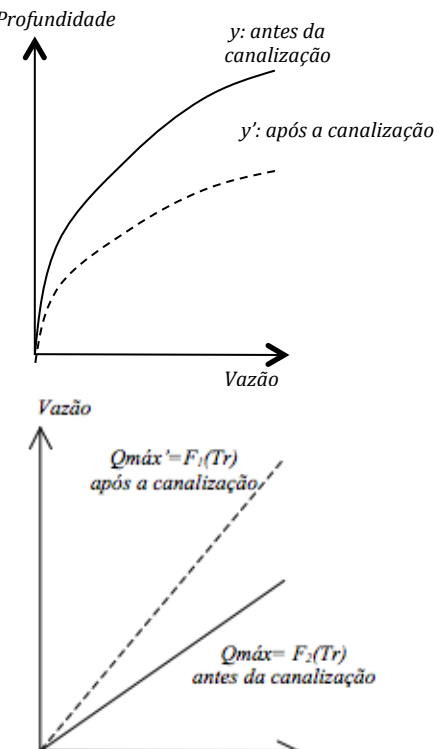
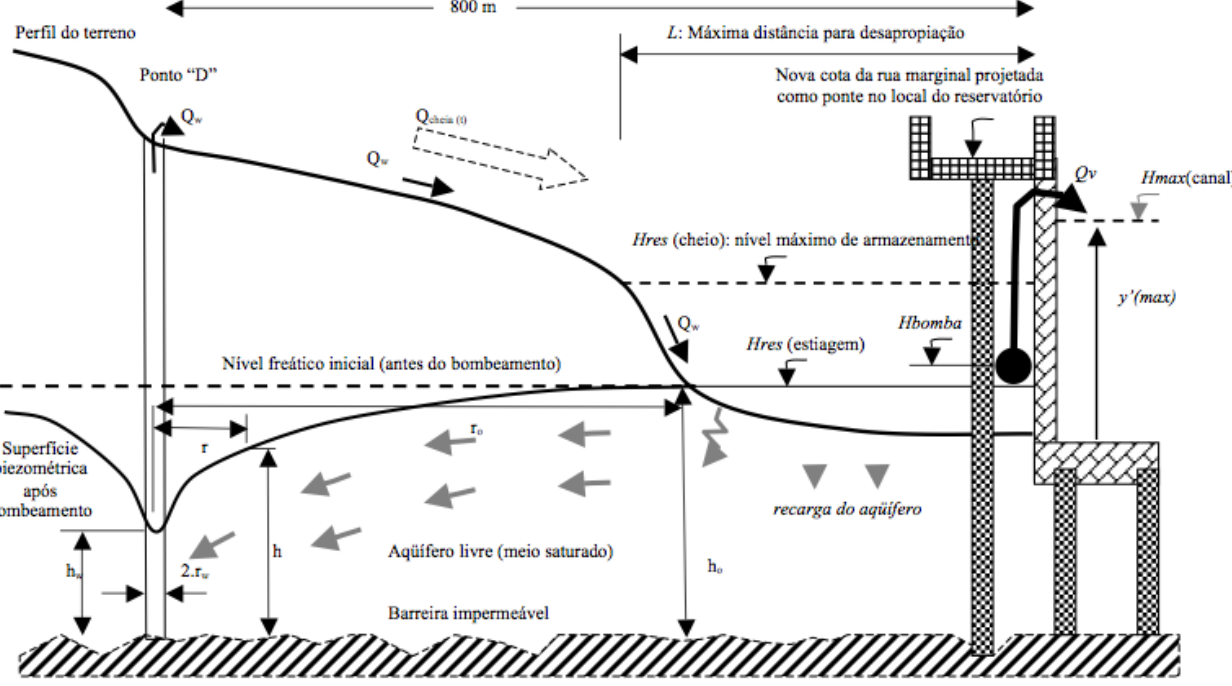
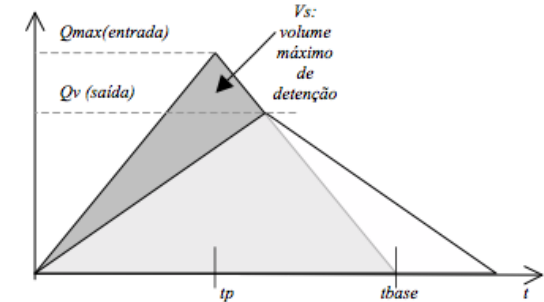
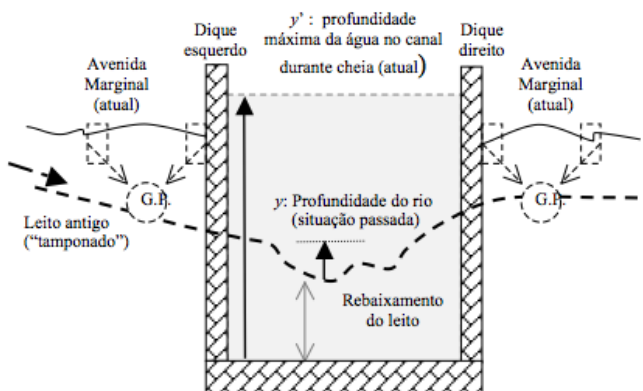
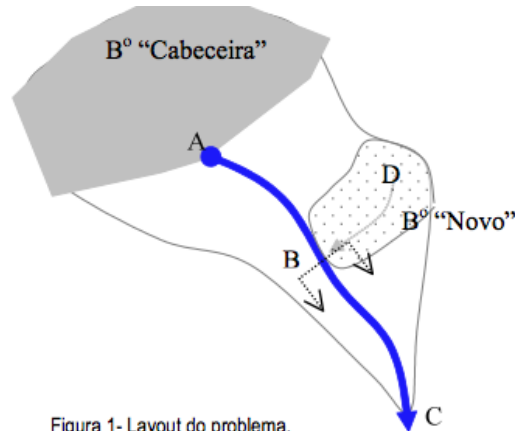
2nd G (expanded) : $P + Tap = ETR + Q + Black$

3rd G (integrated) : $P + Tap + Virtual = ETR + Q + Black + Garbage + Dilution Load Demands$

Motivação – por que ter nova geração de planos diretores de águas urbanas?



Lições do passado – como valorizar melhor erros e falhas (de projeto, construção, operação e manutenção?)



Experimental urban catchment in Sao Carlos City, SP, Brazil

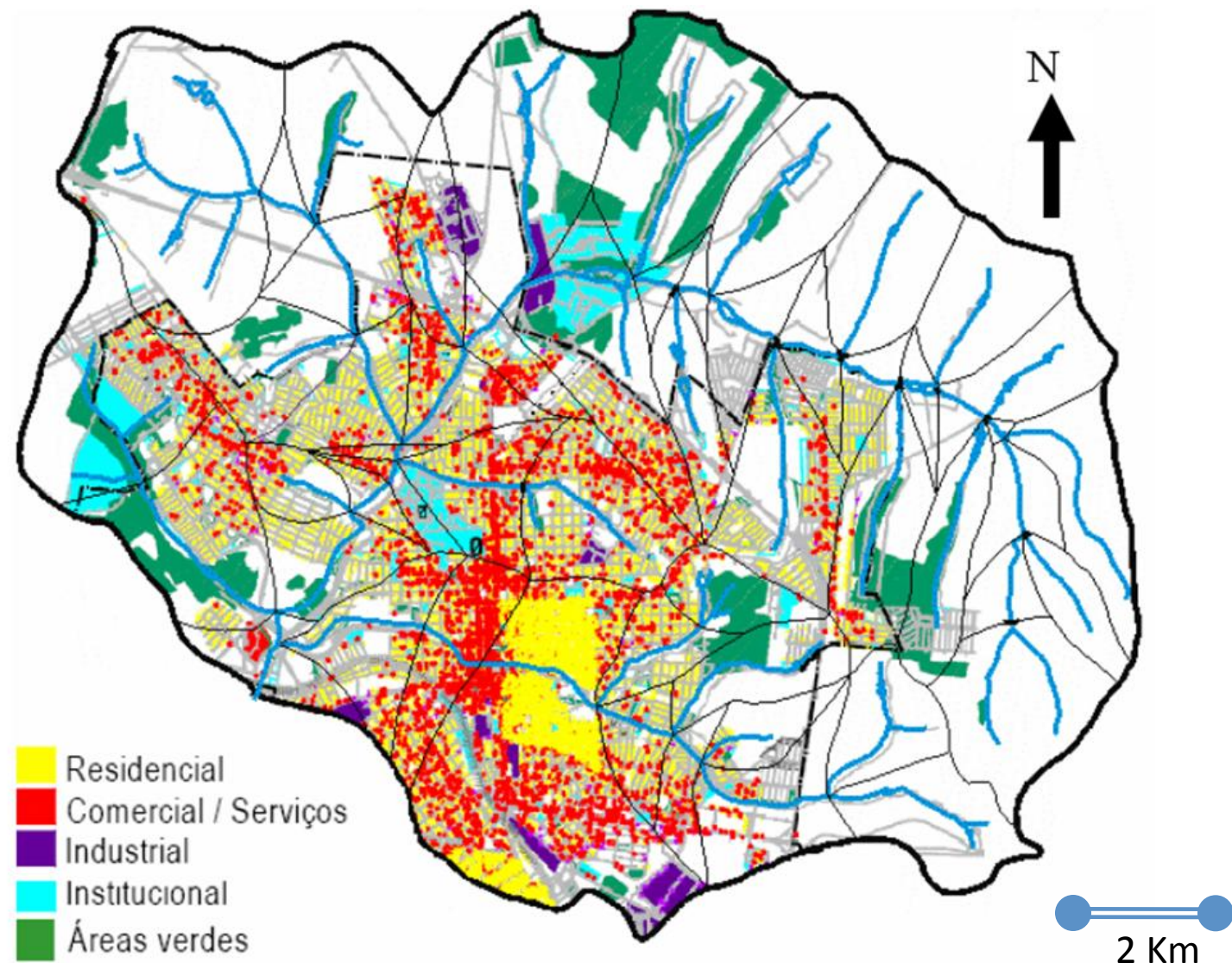


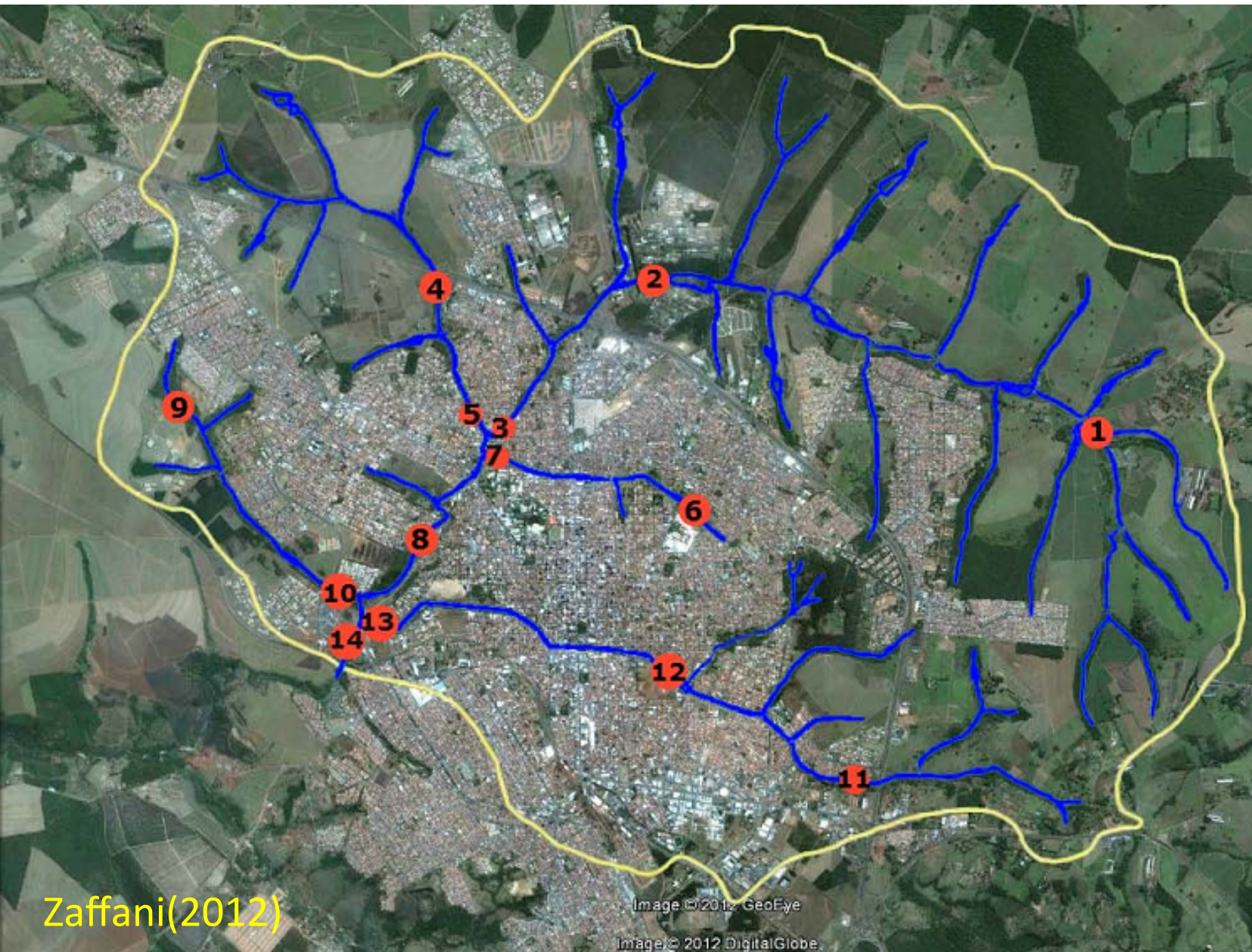
Figura 16: Uso e ocupação do solo urbano.

Fonte: Relatório Polis, 2002 (adaptado).

Cargas Poluidoras na Drenagem Urbana

Área de Estudo:bacias urbanas de São Carlos

Parceria UFAL-EESC/USP

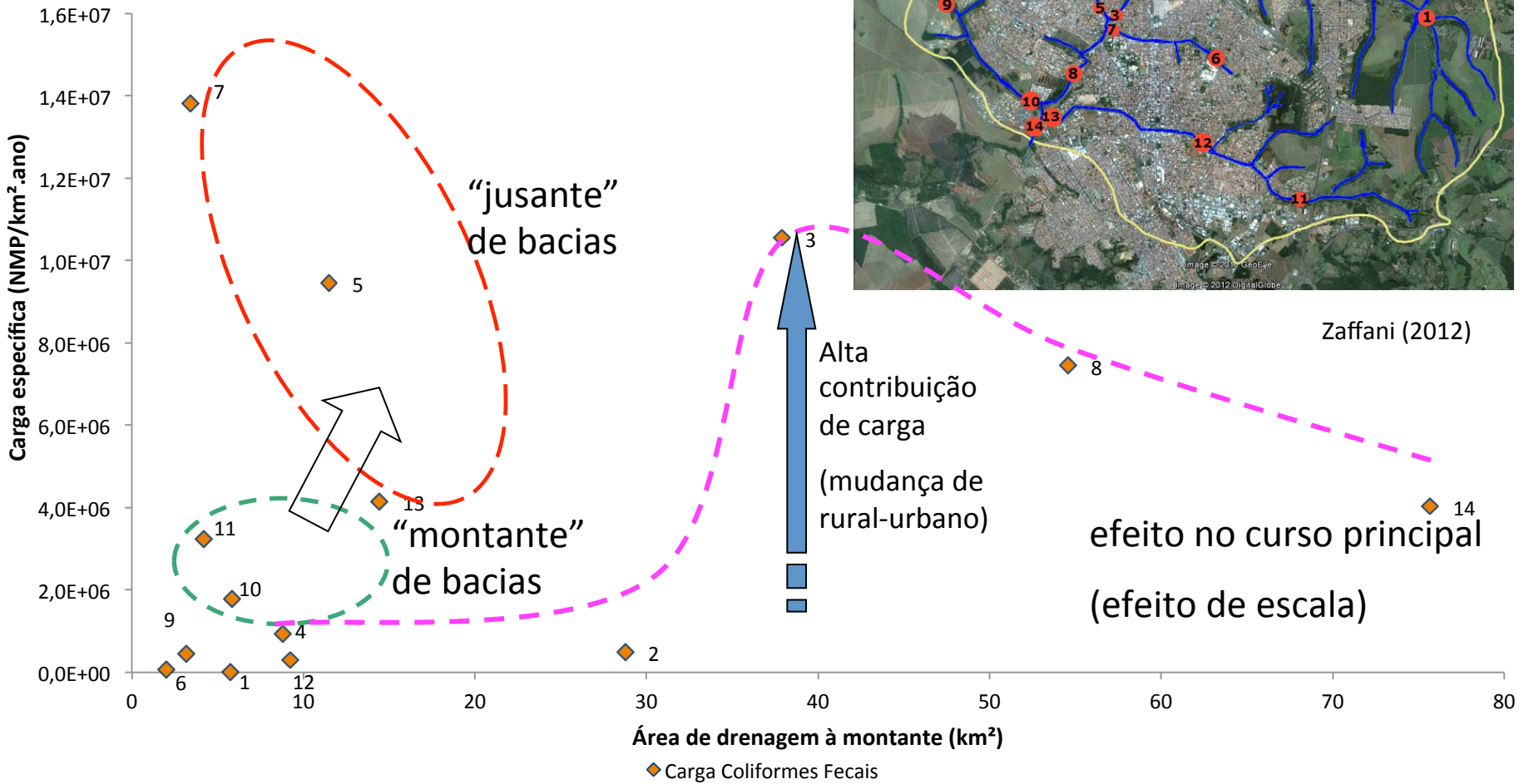


Zaffani(2012)

Coliformes Fecais

Cargas poluentes na drenagem urbana:

- Aumento da poluição (montante-jusante) nas cabeceiras
- Impacto da poluição no canal principal



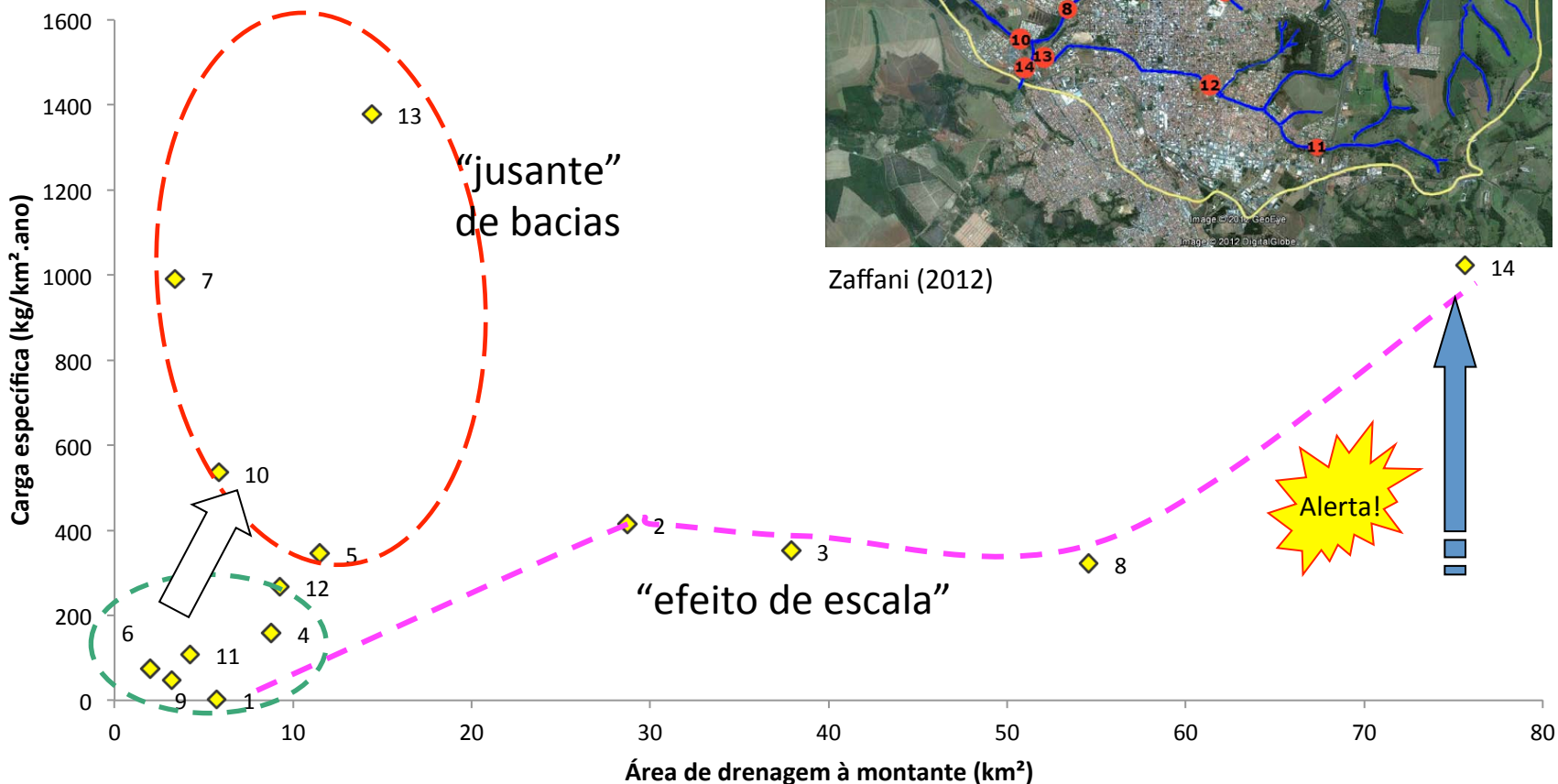
Nitrogênio Amoniacal

FINEP/MAPLU: Sub-Proj.1

Parceria UFAL-EESC/USP

Cargas poluentes na drenagem urbana:

- Aumento da poluição (montante-jusante) nas cabeceiras
- Impacto da poluição no canal principal



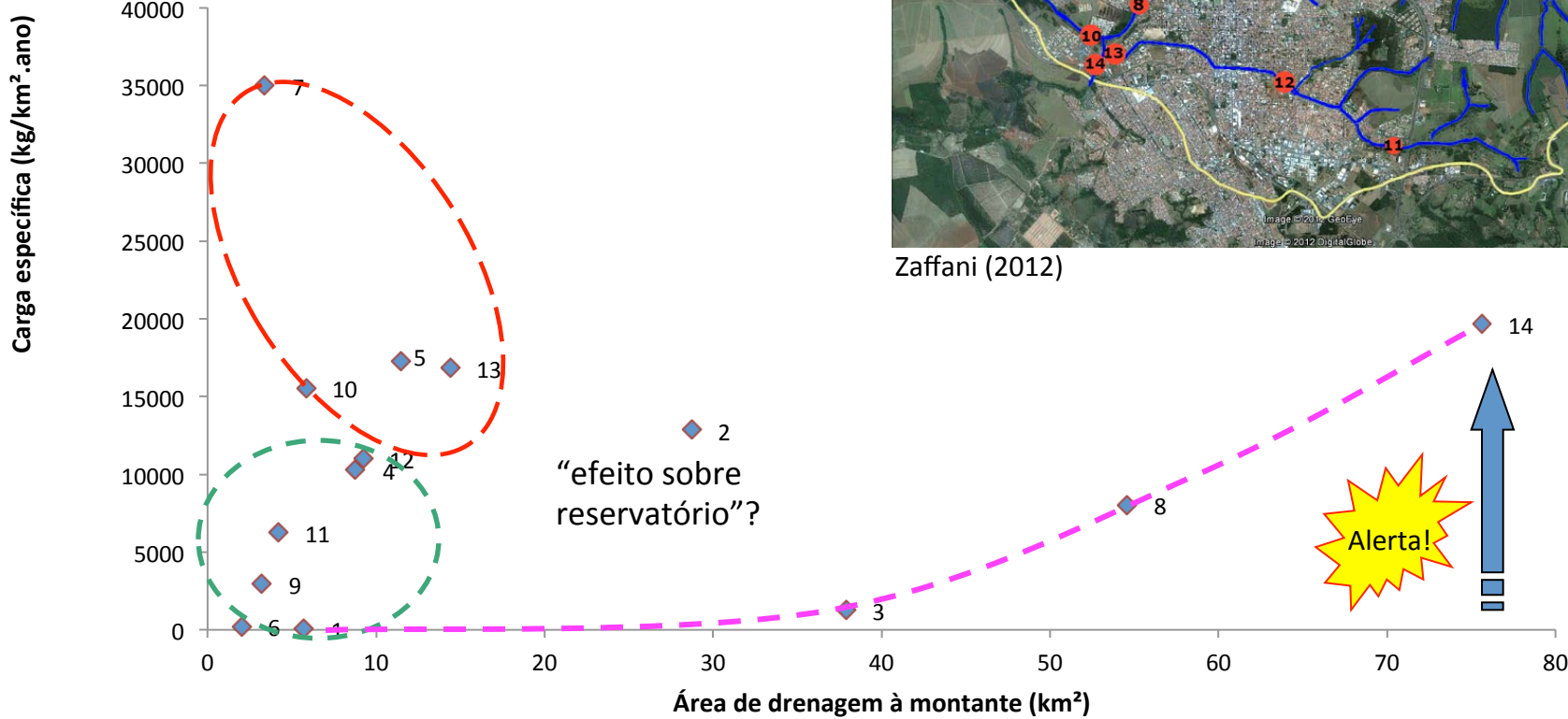
Demanda Química de Oxigênio

FINEP/MAPLU: Sub-Proj.1

Parceria UFAL-EESC/USP

Cargas poluentes na drenagem urbana:

- Aumento da poluição (montante-jusante) nas cabeceiras
- Impacto da poluição no canal principal



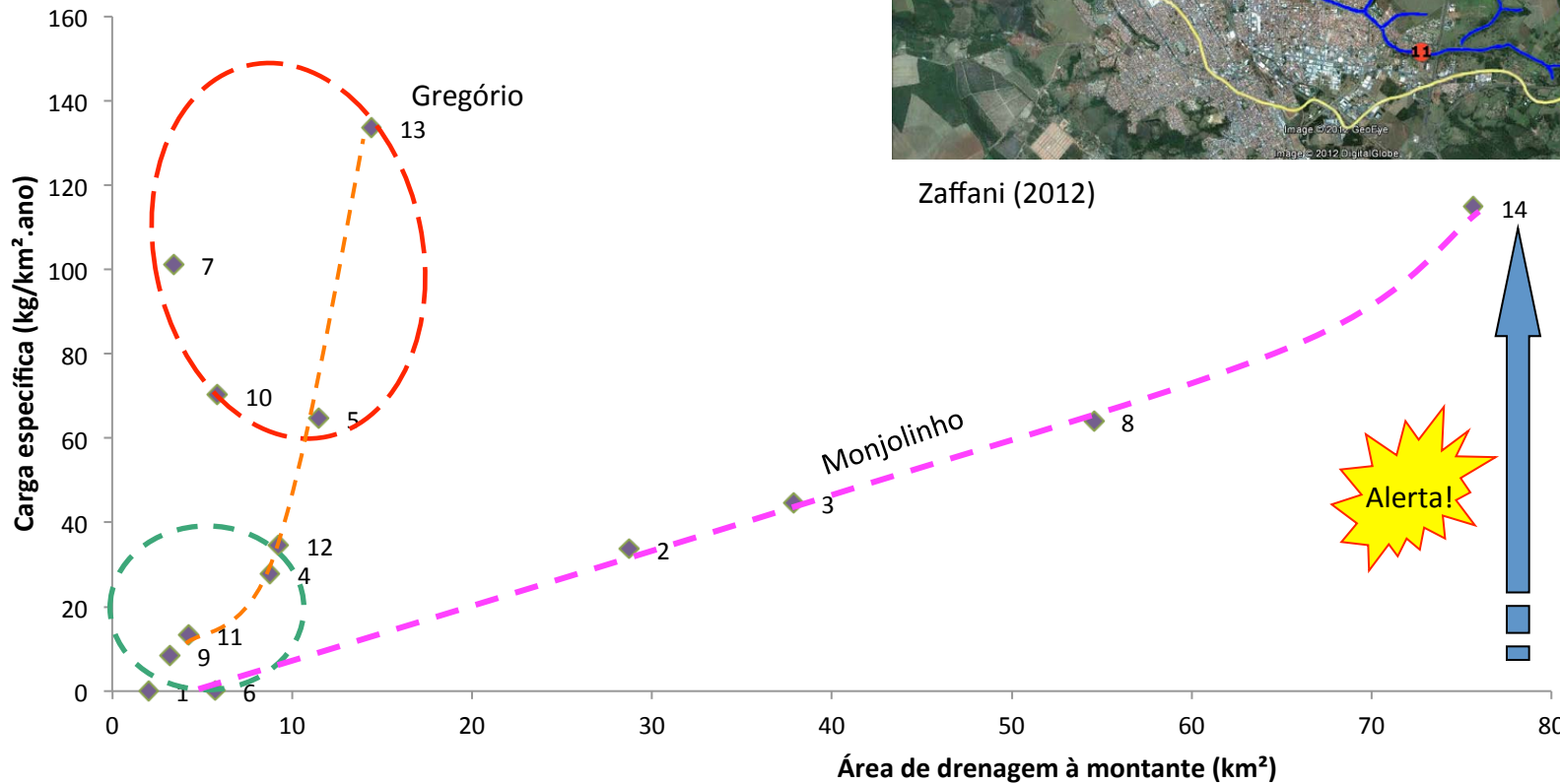
Fósforo Total

FINEP/MAPLU: Sub.Proj. 1

Parceria UFAL-EESC/USP

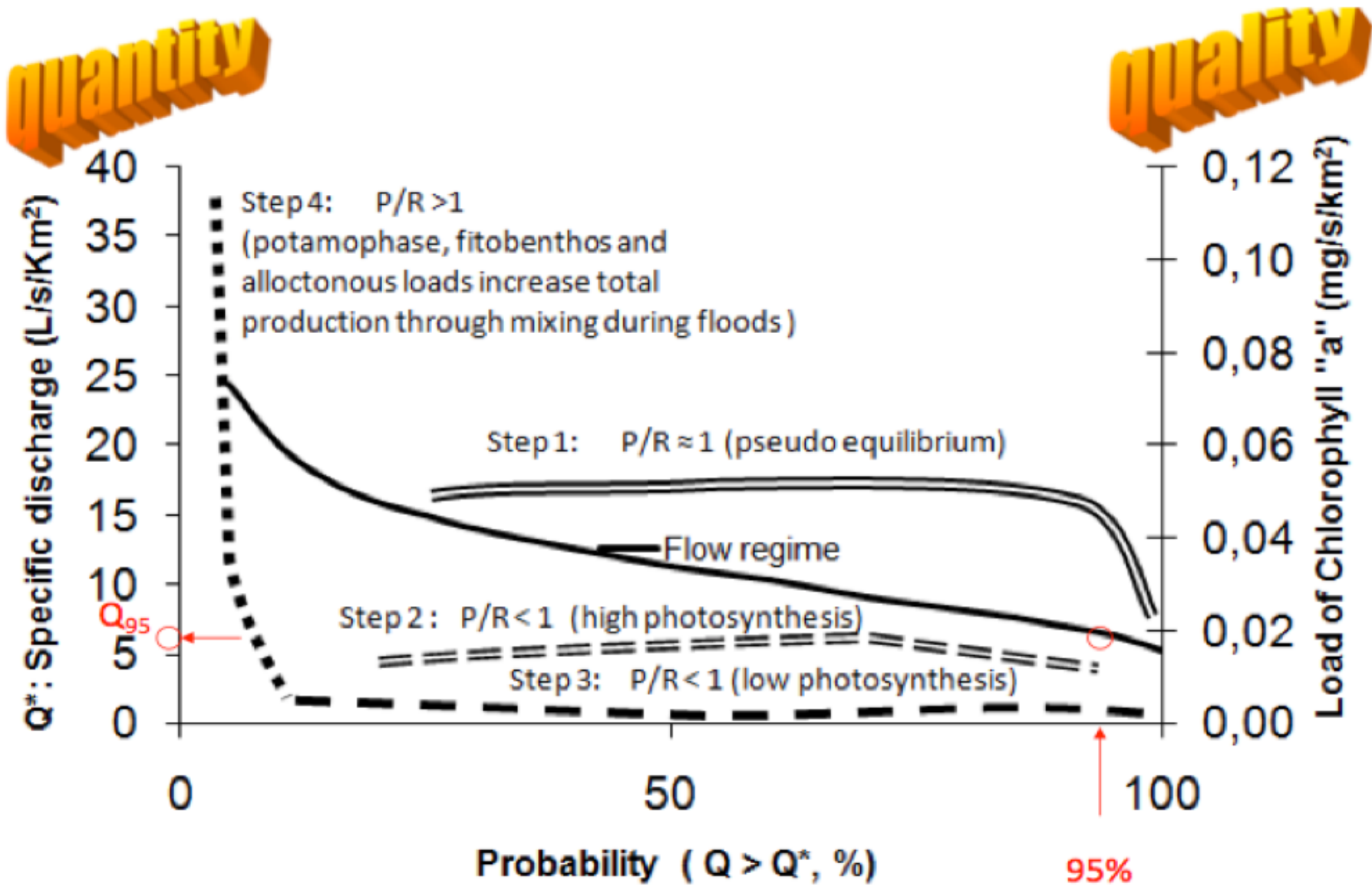
Cargas poluentes na drenagem urbana:

- Aumento da poluição (montante-jusante) nas cabeceiras
- Impacto da poluição no canal principal



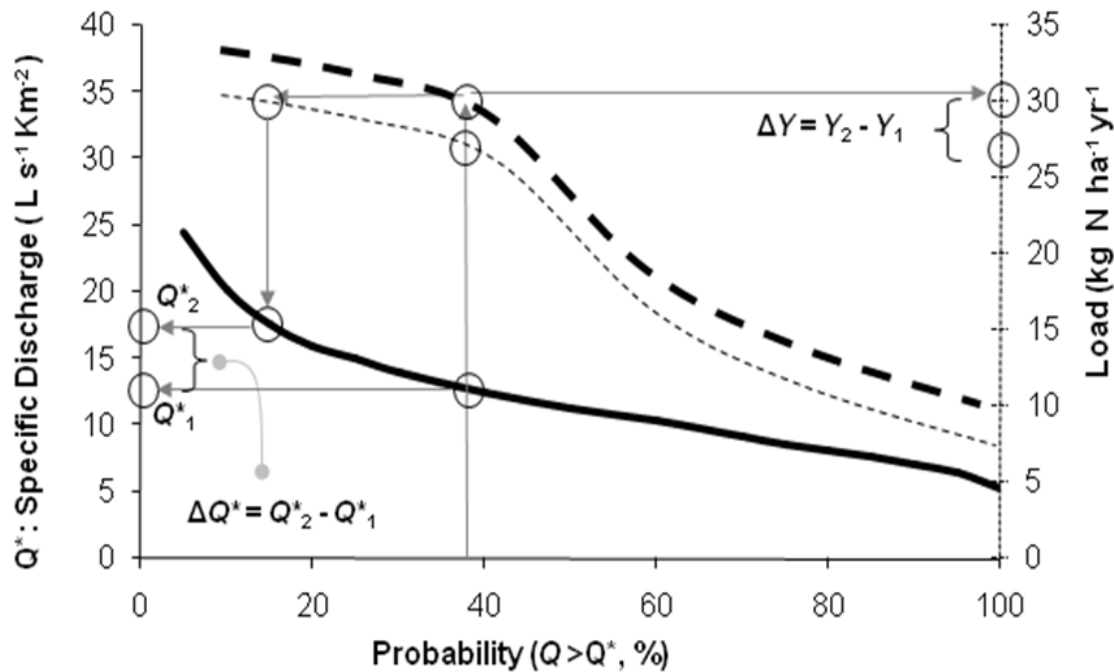
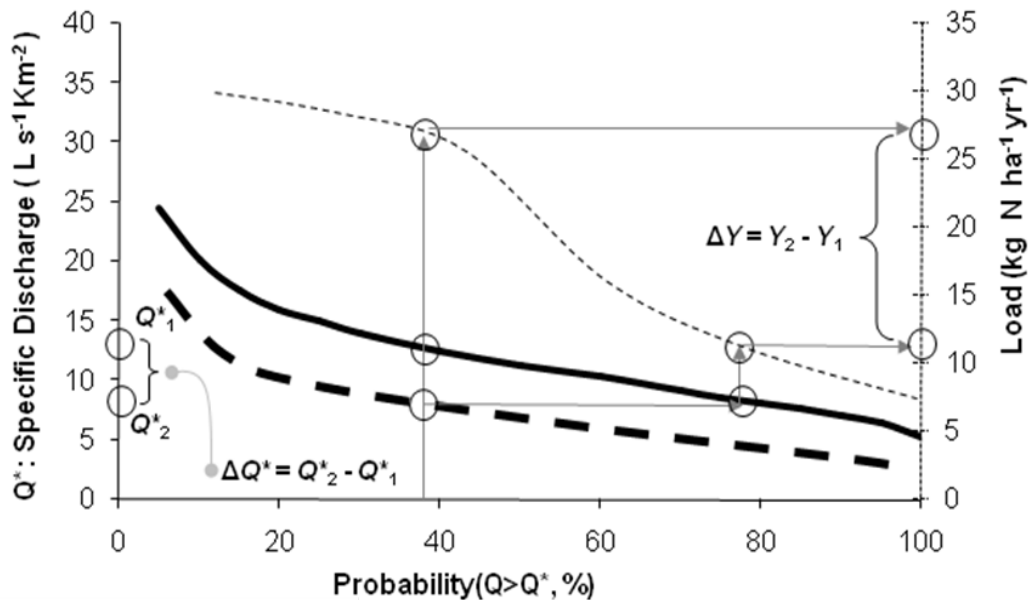
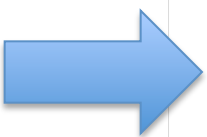
Ecosystem services and quasi-quantitative duration curves

Quantity is related to BLUE water availability and Quality is linked to GREY water footprint.



What happens if ...

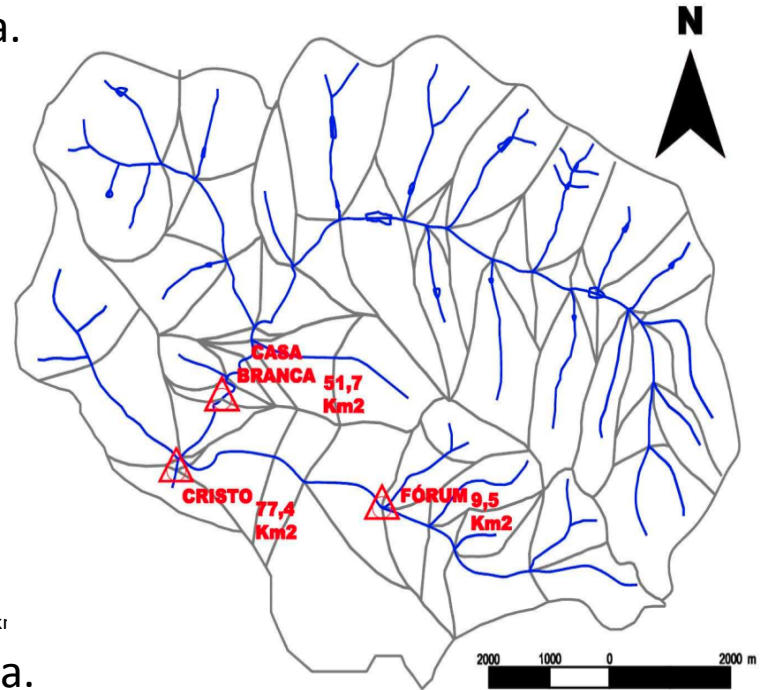
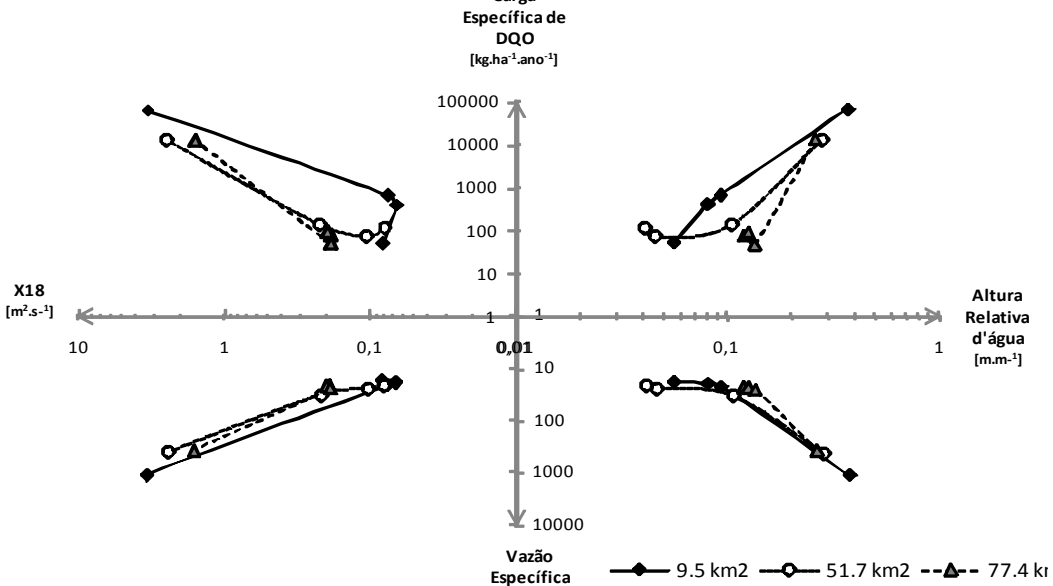
... a climate change occurs?



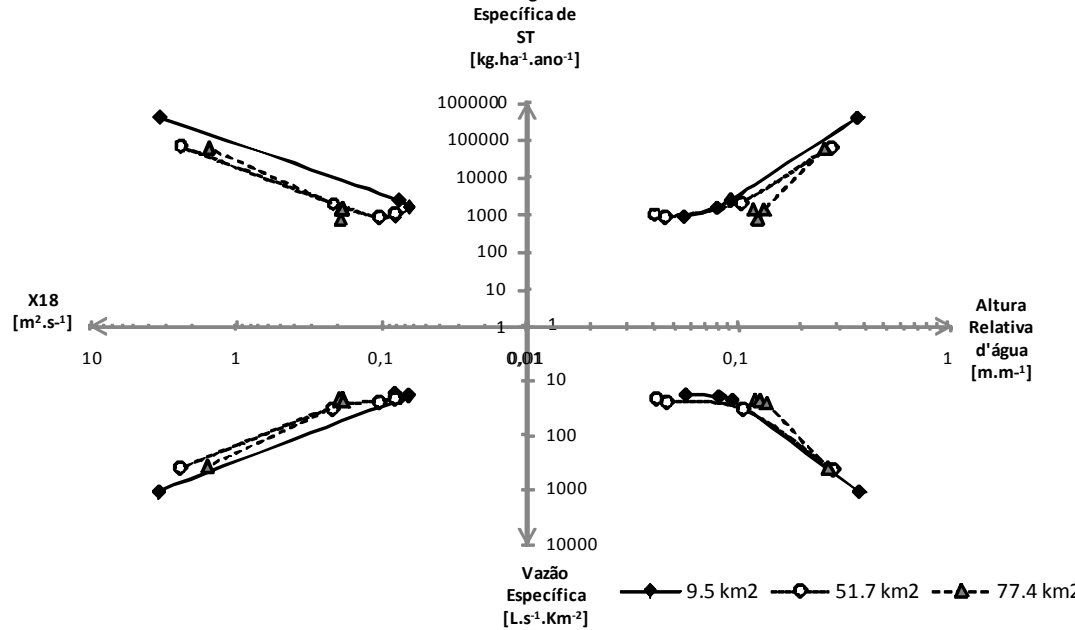
...or land use will develop?



Síntese quali-quantitativa de DQO da drenagem urbana.



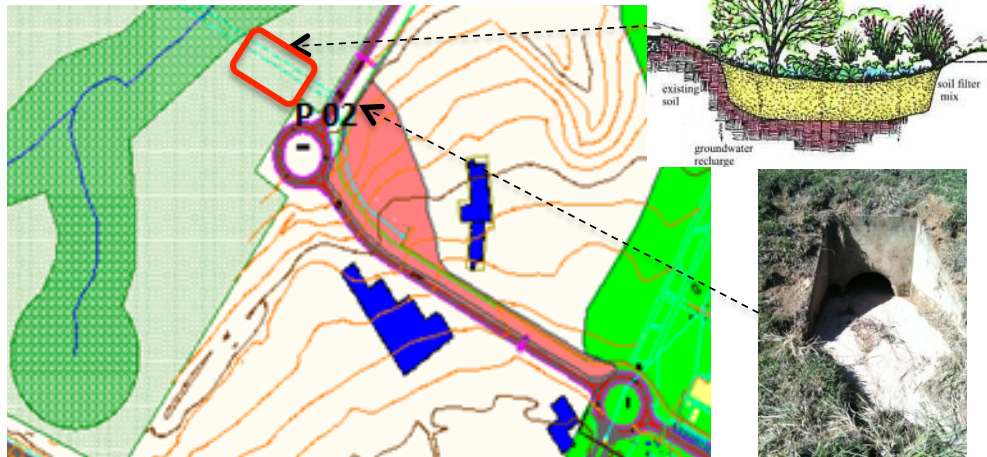
Síntese quali-quantitativa de SST da drenagem urbana.



Fontes: Pehovaz (2010);
Mendiondo et al (2013)

Desenvolvido na
USP-2, com 10
micro-bacias para
receber TCs.



Micro-drenagem com novas TCs

$$eff_{TC}(\theta, t) = \lambda_1 \cdot eff_{\Delta Q, quanti} + \lambda_2 \cdot eff_{\Delta Y, quali} + \lambda_3 \cdot eff_{\Delta X, bio}; \text{ para } \lambda_1 + \lambda_2 + \lambda_3 = 1$$

$$V_{max,TC}(t) = V_{max,quanti}(t) + V_{max,quali}(t) + V_{max,bio}(t)$$

$$\theta = \underbrace{\theta(\Delta Q_{quanti}(t), \Delta Y_{quali}(t), \Delta X_{bio}(t))}_{\text{detenção}} \quad \underbrace{\text{biorretenção}}$$

Dimensionamento,
operação e
manutenção

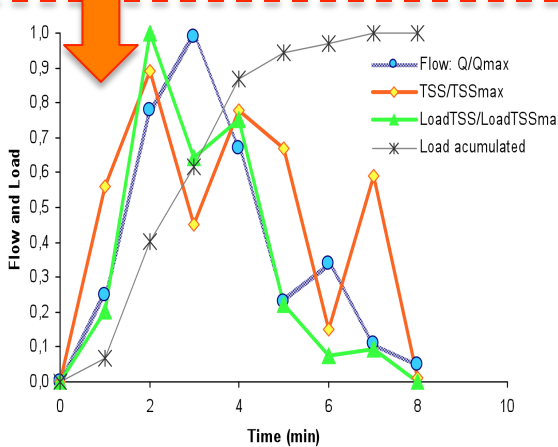


Tabela 2- Relações experimentais previstas entre variáveis para controle da poluição difusa na microdrenagem (linhas) com base em indicadores ecohidrológicos (colunas). Fonte: Mendiondo (2008)

	Continuidade					Diversidade			Dinâmica			Resiliência				Vulnerabilidade			
	X ₁	X ₂	X ₃	X ₄	X ₅	X ₆	X ₇	X ₈	X ₉	X ₁₀	X ₁₁	X ₁₂	X ₁₃	X ₁₄	X ₁₅	X ₁₆	X ₁₇	X ₁₈	
DQO	+	+	+	+	-	+/-	+/-	+	+	+	-	+/-	+/-	+/-	-	+/-	+/-	+/-	
DBO	+	+	+	+	+	+/-	+/-	+	+	+	-	+/-	+/-	+/-	-	+/-	+/-	+/-	
N-tot	+/-	+/-	-	-	-	+/-	+/-	+	-	-	+/-	+/-	+/-	+/-	+	++	++	+/-	
P-tot	+/-	+/-	-	-	-	+/-	+/-	+	-	-	+/-	+/-	+/-	+/-	++	++	++	+/-	
IBiol.	+/-	+/-	+	+	-	+/-	+/-	+	+	+/-	+/-	+/-	+/-	+/-	+	+	+	+/-	
SSI	+	+	+	+	-	+/-	+/-	+	+	+	-	+/-	+/-	+/-	-	+	++	+/-	
SSO	+	+	+	+	-	+/-	+/-	+	+	+	-	+/-	+/-	+/-	-	+	+	+/-	
SST	+	+	+	+	--	+/-	+/-	+	++	--	--	+/-	+/-	+/-	-	++	++	+/-	

Legenda: sinal indica a correlação experimental esperada e o intervalo do coeficiente de determinação (R^2);
 + +: correlação positiva e $R^2 > 0,8$; +: correlação positiva e $0,5 < R^2 < 0,8$;
 +/- : sem correlação e $R^2 < 0,5$; - : correlação negativa e $0,5 < R^2 < 0,8$; -- : correlação negativa e $R^2 > 0,8$;

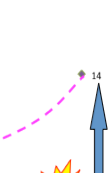
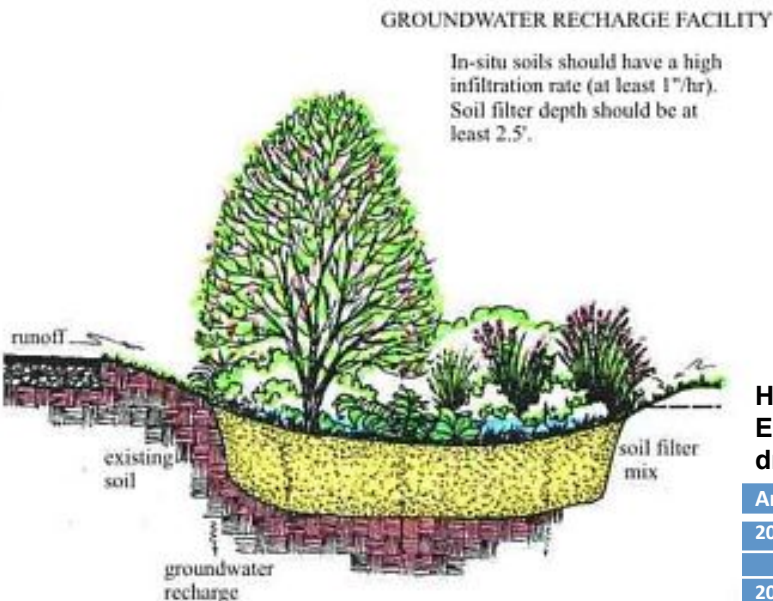
Qualidade da macro-drenagem (corpos receptores)

Tabela 3: Valores dos parâmetros limnológicos analisados na Bacia do Córrego do Mineirinho

Pontos	A (Bacia 1)	B (bacia 2)	C (Bacia 3)	D (Bacia 5)	E (Bacia 7)
T (°C)	21	22	21	20	20
pH	7,0	6,0	6,5	7,0	7,0
DQO (mg/L)	20	15	15	10	10
Nitrogênio(mg/L)	0,2	0,2	0,2	0,2	0,2
Oxigênio dissolvido (mg/L)	7,0	7,0	6,0	7,0	7,0
Fosfato Total (mg/L)	< 0,2	< 0,2	< 0,2	< 0,2	< 0,2
Coliformes Fecais (nmp/100 mL)	2520	1020	300	3600	2160
Coliformes totais (nmp/100 mL)	5520	2880	1680	7560	5760

Source: adapted from Rosa et al (2013; 2014)



Fonte:

http://www.lid-stormwater.net/bio_benefits.htm

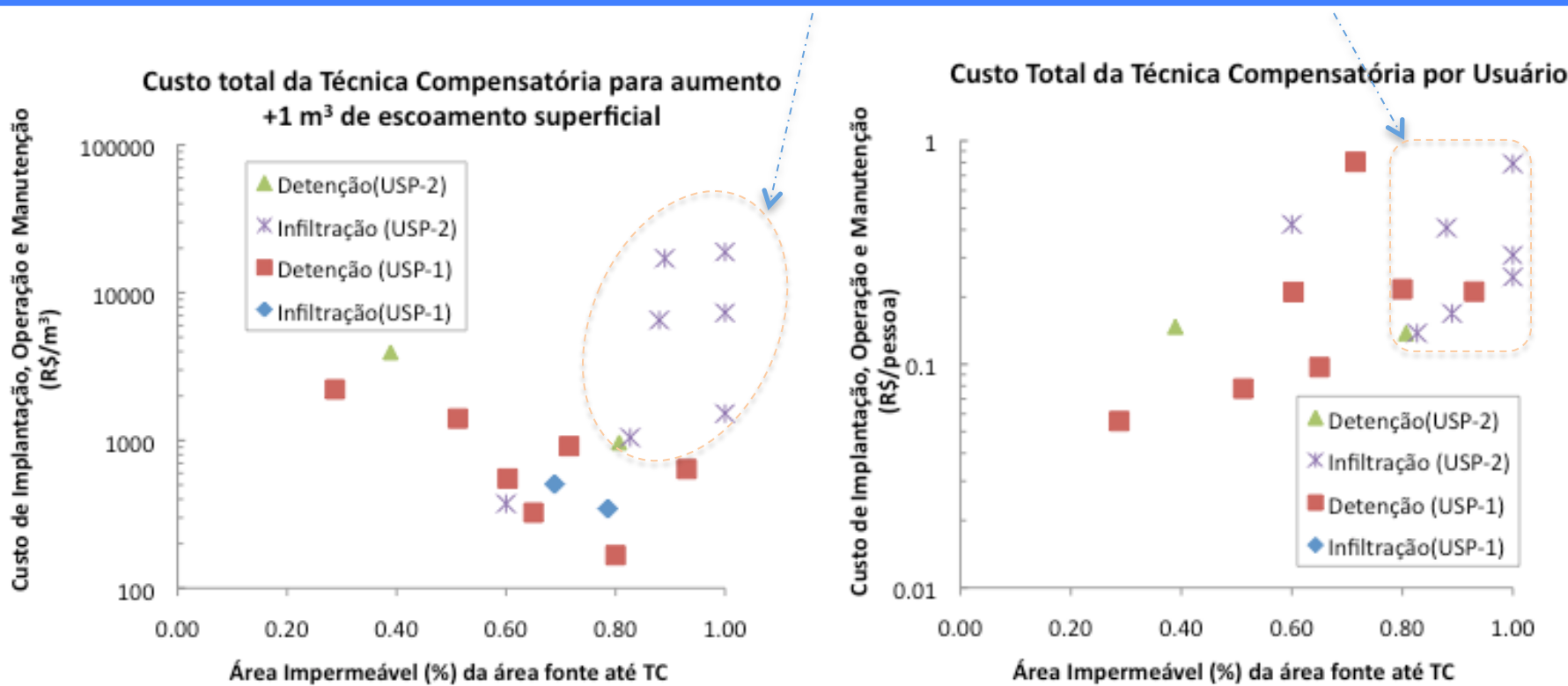
Legendas: "T.C.": CVL: Cobertura Verde Leve (telhado verde), Trin: trincheira de infiltração, Poço Profundo de Recarga, Mini-Res: Mini-reservatório detenção; "Compensação" de: ΔP : chuva incidente; ΔPe : incremento da chuva efetiva (escoamento superficial); $\Delta QualPe$: incremento da poluição difusa; **MUWS: Microbiologia de Águas Urbanas (Microbiology in Urban Water Systems)** controlada) de precipitação, Exp/Cont.: experimento com entrada controlada de precipitação, Mod/IDF: modelagem de área de drenagem para chuva de projeto (IDF local): (1) www.shs.eesc.usp.br/downloads/technotes/emm/Ara-FAPESP-2004-Relat-final.pdf; (2) www.abrh.org.br/novo/rbrh_completas/RBRHV1.7N2C.html; (3) www.tcc.sc.usp.br/tce/disponiveis/18/18139/tde-13032009-093755/en.php; (4) www.tcc.sc.usp.br/tce/disponiveis/18/180300/tce-19072010-112639/; (5) www.teses.usp.br/teses/disponiveis/18/18138/tde-24062009-081439/en.php; (6) em revisão editorial; (7) www.teses.usp.br/teses/disponiveis/18/18138/tde-23042012-090308/; (8) www.teses.usp.br/teses/disponiveis/18/18138/tde-12042012-090452/en.php; (9) FINEP 01.10.0701.00 - MCT/FINEP/AÇÃO TRANSVERSAL Saneamento Urbano e Habitação 07/2009; (10) FAPESP IAV <http://www.bv.fapesp.br/pt/projetos-tematicos/29498/assessment-impacts-vulnerability-climate-change/>; (11) CNPq 552494/2011-9 MCT/CNPq/MEC/CAPES - Ação Trans 06/2011 - Casadinho/



Fonte: MARGOLIS, L.; ROBINSON, A., 2010.

- Os custos de técnicas compensatórias tradicionais de micro-detenção e de trincheiras de infiltração têm características e singularidades.
- Comparação de custos específicos em relação a:
 - número médio anual de usuários das áreas fontes e
 - volumes excedentes de escoamento superficial devido à impermeabilização

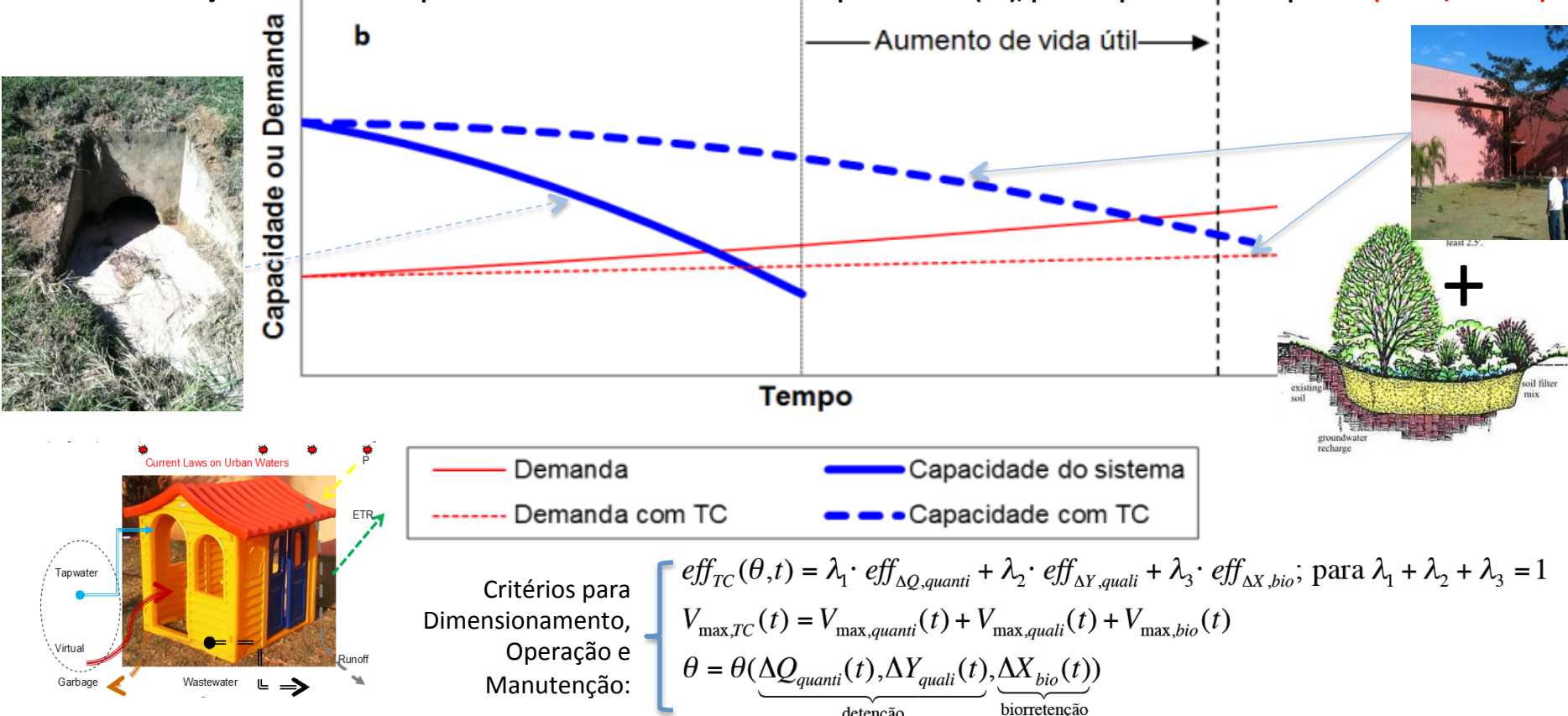
Necessidade de incluir diretrizes construtivas para técnicas compensatórias por biorretenção da drenagem urbana visando à sustentabilidade para Plano Diretor em futuras áreas de expansão (ex. USP-2)



Abordagem: Tratamentos para eficiência da drenagem com controle: (a) quantitativo, (b) qualitativo e (c) biológico

LINHA CONTÍNUA: Demanda e capacidade variáveis com “política reativa” (ocorre somente após colapso do sistema de drenagem)

LINHA DE TRAÇOS: Demanda e capacidade variáveis com Técnicas Compensatórias (TC), política pró-ativa e adaptativa (FINEP/MAPLU)



Técnicas Compensatórias como Estratégias Adaptativas de Longo Prazo e de Prevenção de Poluição Futura

- Demandas e capacidades da drenagem que variam com o tempo [$\Delta Q_{quanti}(t)$, $\Delta Y_{quali}(t)$ e $\Delta X_{bio}(t)$]
- Modificação da capacidade do sistema $V_{max,TC}(t)$ [possibilidade de dimensionamento modular]
- Eficiências $eff_{\Delta Q, quanti}(t)$, $eff_{\Delta Y, quali}(t)$ e $eff_{\Delta X, bio}(t)$ [de forma combinada ou individual]

Community perception of reactive urban drainage control (no planning, “Order from Strength” Scenario)

NIBH

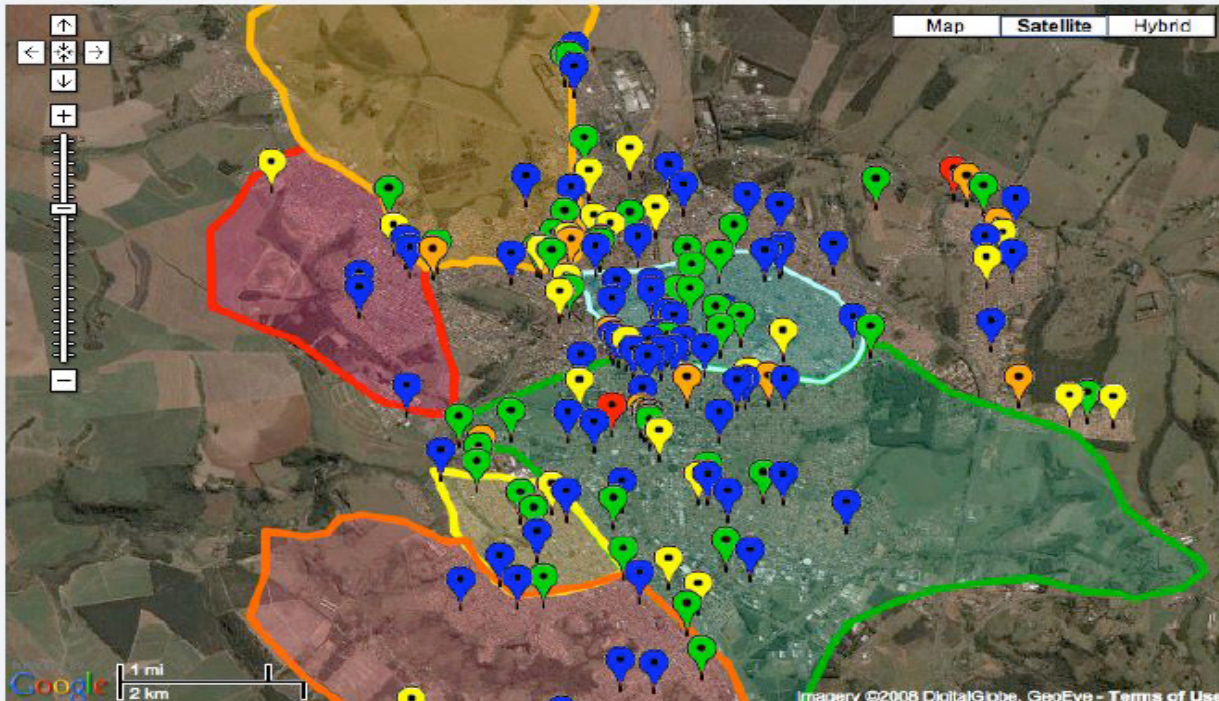
Núcleo Integrado de Bacias Hidrográficas
Departamento de Hidráulica e Saneamento - EESC - USP

Início | Contato | O Projeto



floodays

RISCO DE INUNDAÇÃO na cidade de São Carlos SP: SISTEMA DE MAPEAMENTO PARTICIPATIVO VIA WEB



from Giuntoli & Mendiondo (2008)

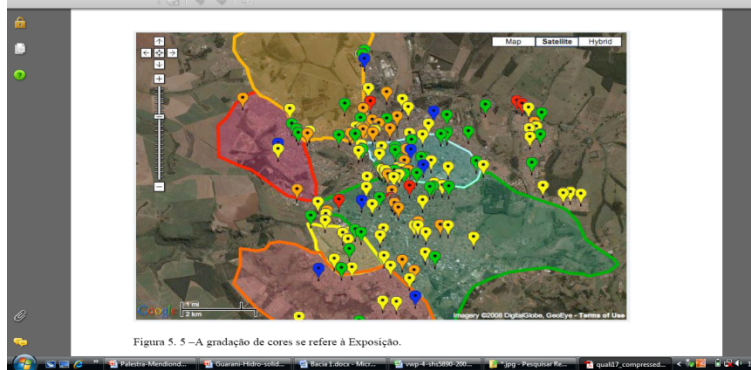
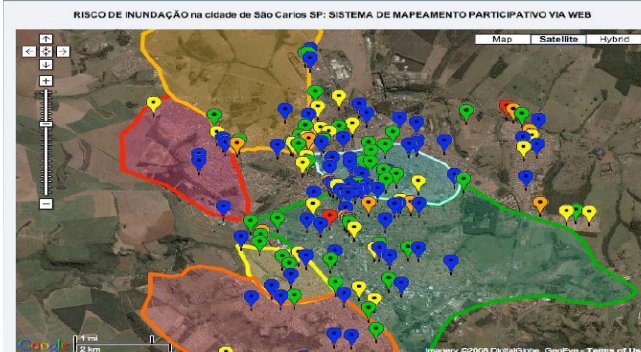


Figura 5.5 –A graduação de cores se refere à Exposição.

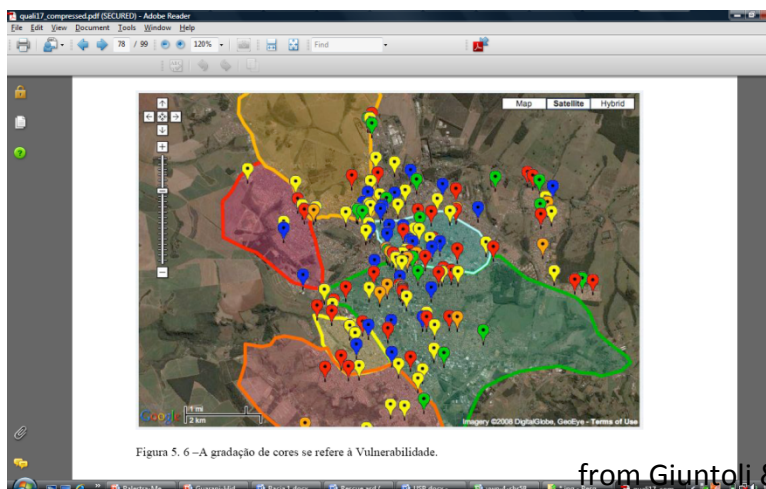


Figura 5.6 –A graduação de cores se refere à Vulnerabilidade.



from Giuntoli & Mendonça (2008)

Participatory monitoring: Flood Citizen Observatory



Observatório Cidadão de Enchentes



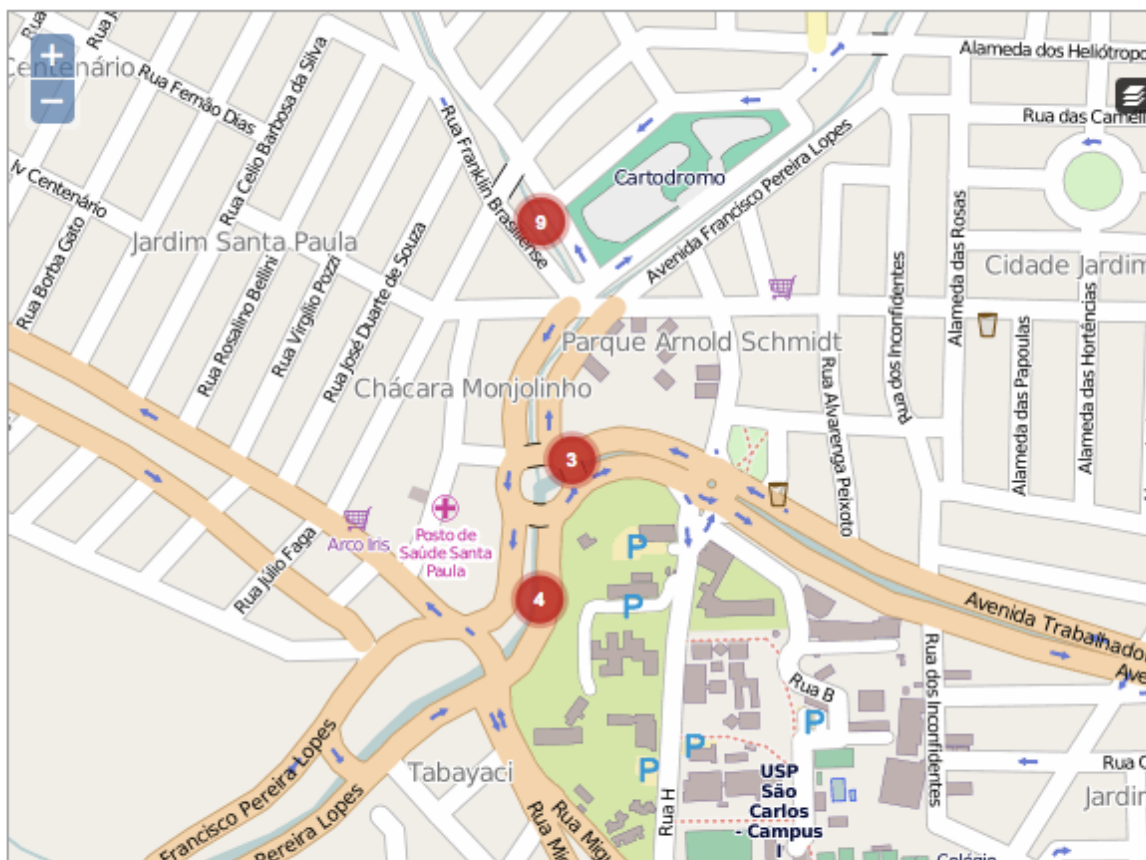
ICMC
SÃO CARLOS



INÍCIO **VER RELATOS** **ENVIAR RELATO** **CONTATO** **OBSERVATÓRIO CIDADÃO**

FILTROS → **TODOS** NOTÍCIAS FOTOS VÍDEO

↓ FILTRO DE CATEGORIAS [OCULTAR]



Como relatar

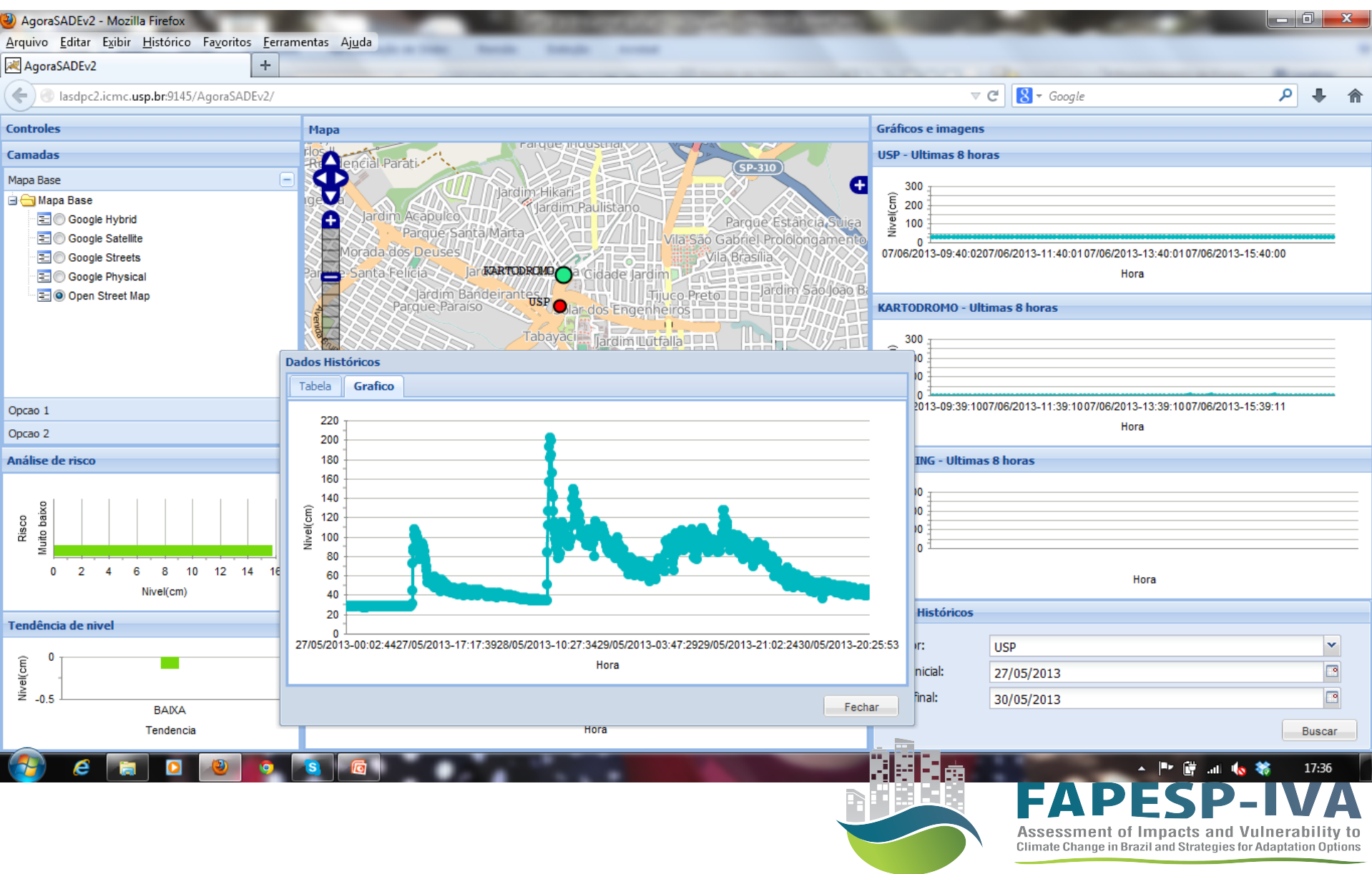
Usando aplicativo:
iPhone
Android

Ampliação da Rede de Monitoramento FINEP/MAPLU – FAPESP-IVA e FAPESP/AGORA/SADE

Sources: Furquim et al (2014-a; 2014-b-b; Horita et al 2013)

FINEP/MAPLU: Sub-Proj.1

Parceria UFAL-EESC/USP-ICMC/USP



Sistema de Monitoramento Experimental WSN (Wireless Sensor Network) e Sistema de Previsão Antecipada de Enchentes Urbanas

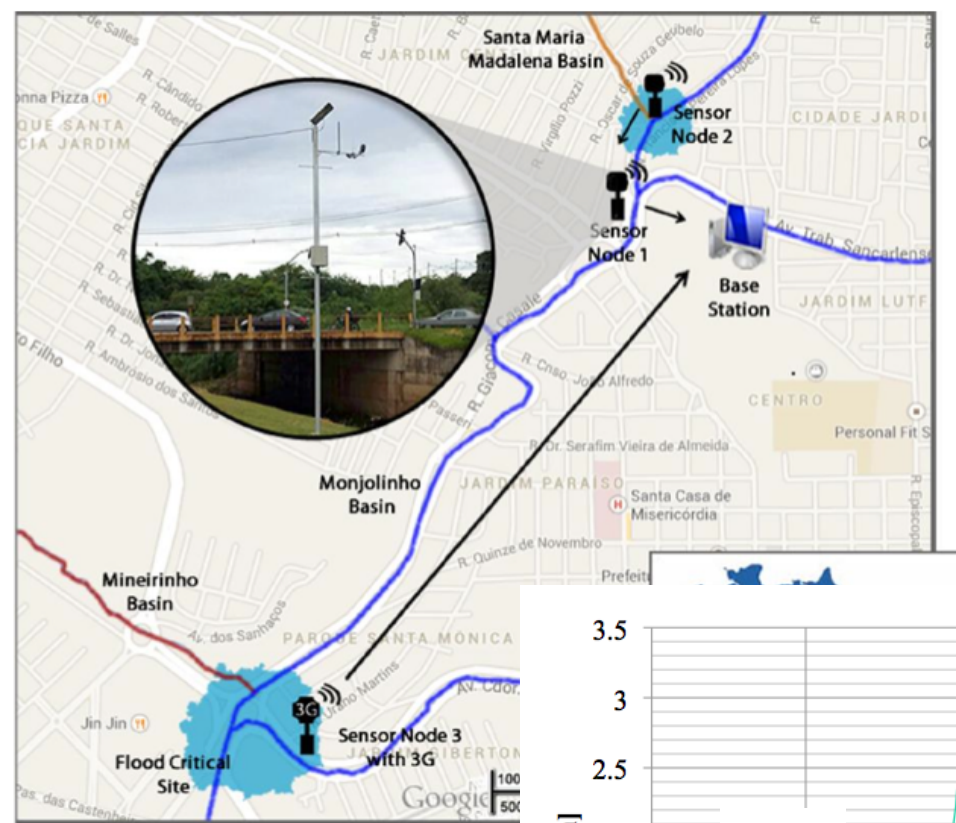


Figura 2 – Bacia de estudo e pontos de monitoramento.

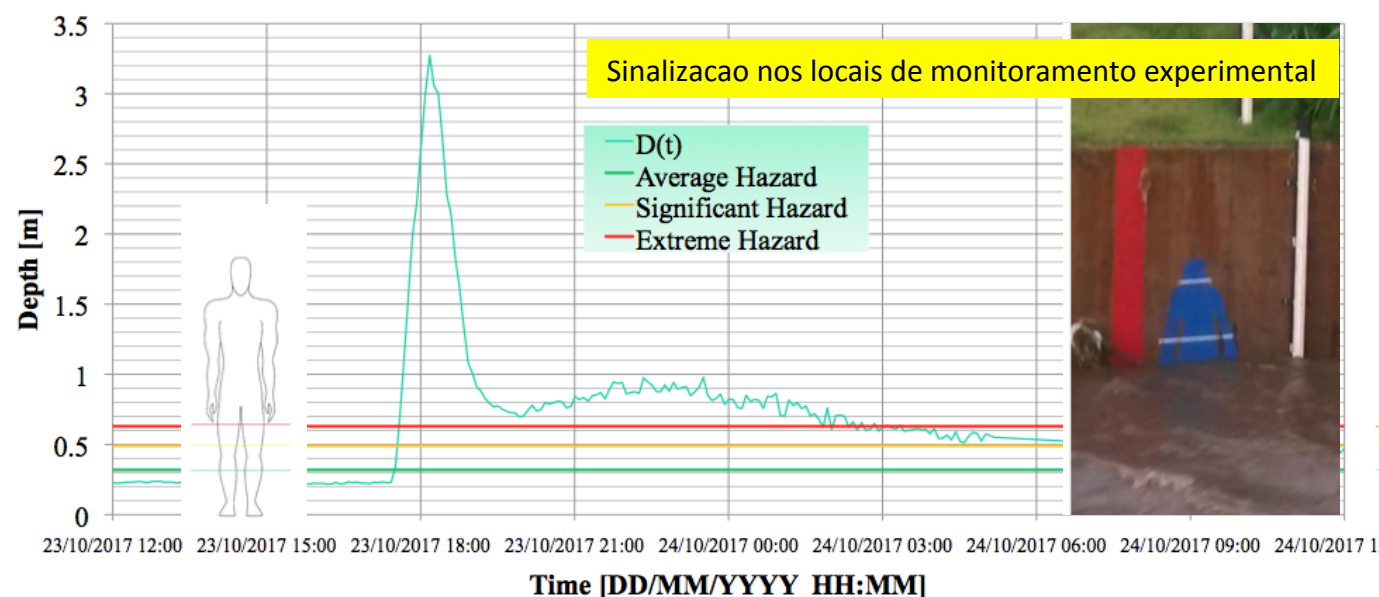
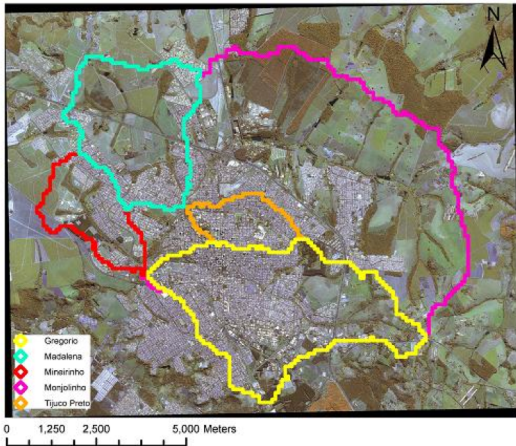


Figure 8: Temporal behavior of flood hazard index at urban channels

Prevenção e Monitoramento do Risco de Inundações em Bacias Urbanas



Executado: 95%

IP [m^2/s]	Risco
0 – 0,5	Baixo
0,5 – 1,0	Médio
1,0 - 1,5	Alto
> 1,5	Muito Alto

Fonte: Janine (2014)

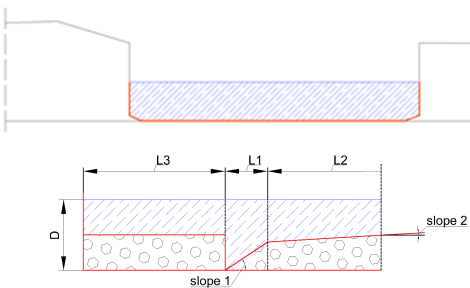


Figura 50 - Forma de indicação de perigo por profundidade relativa.

Adaptado para escoamento em canais

Therefore it is fundamental to evaluate:

- n – Manning coefficient
 - k – conversion factor [$L^{1/3}/t$]
 - A – cross-sectional area of flow [L^2]
 - P – wetted perimeter [L]
 - S – slope of the hydraulic grade line [L/L]
- (where, in the SI: L – [m] ; t – [s] ; k=1 $m^{1/3}/s$)



Adaptado para escoamento em sarjetas

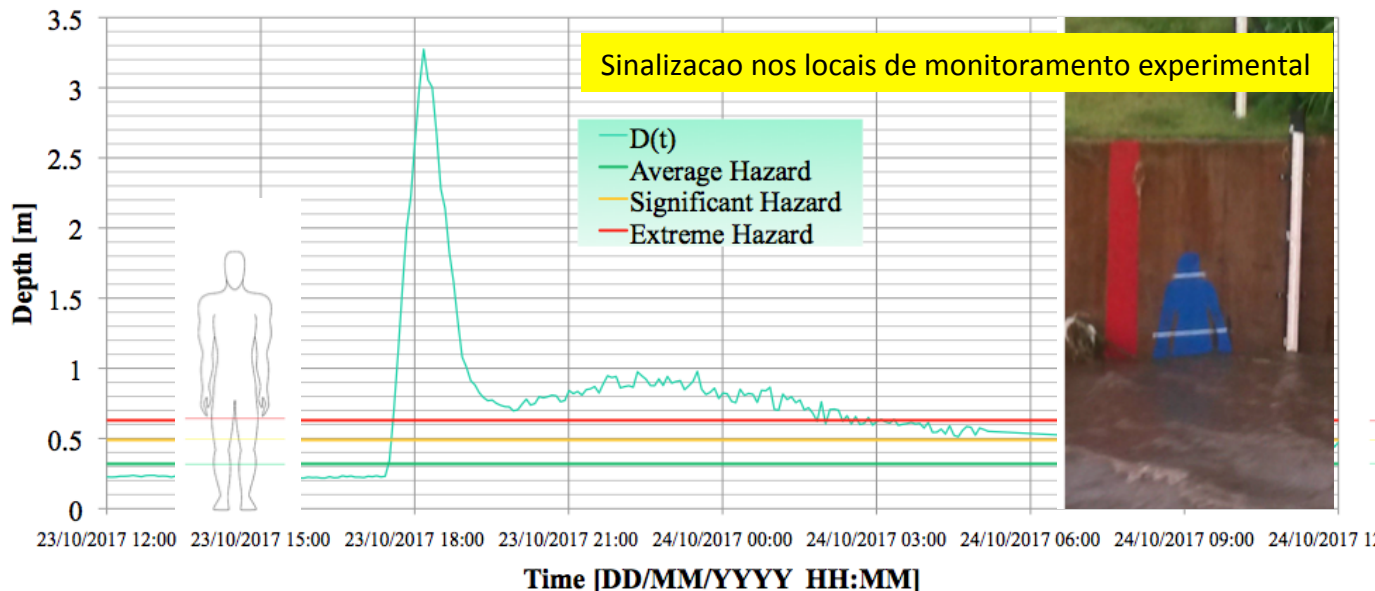


Figure 8: Temporal behavior of flood hazard index at urban channels

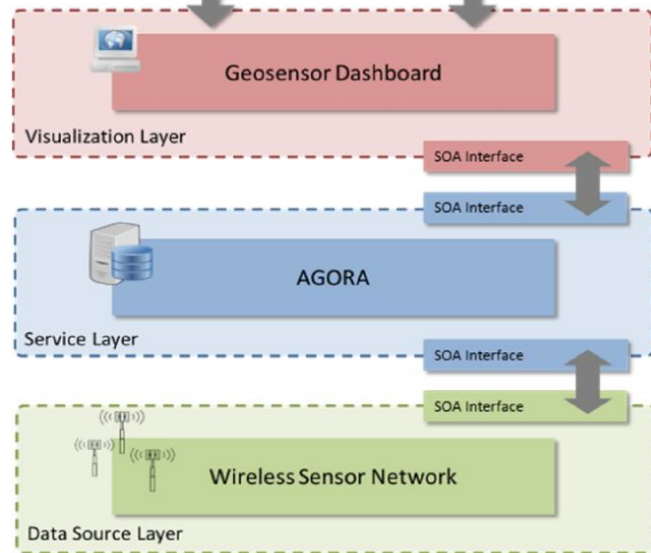
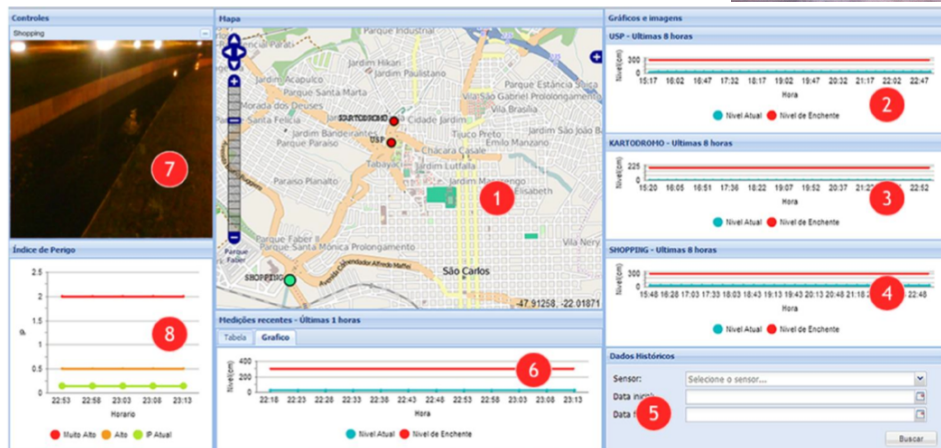
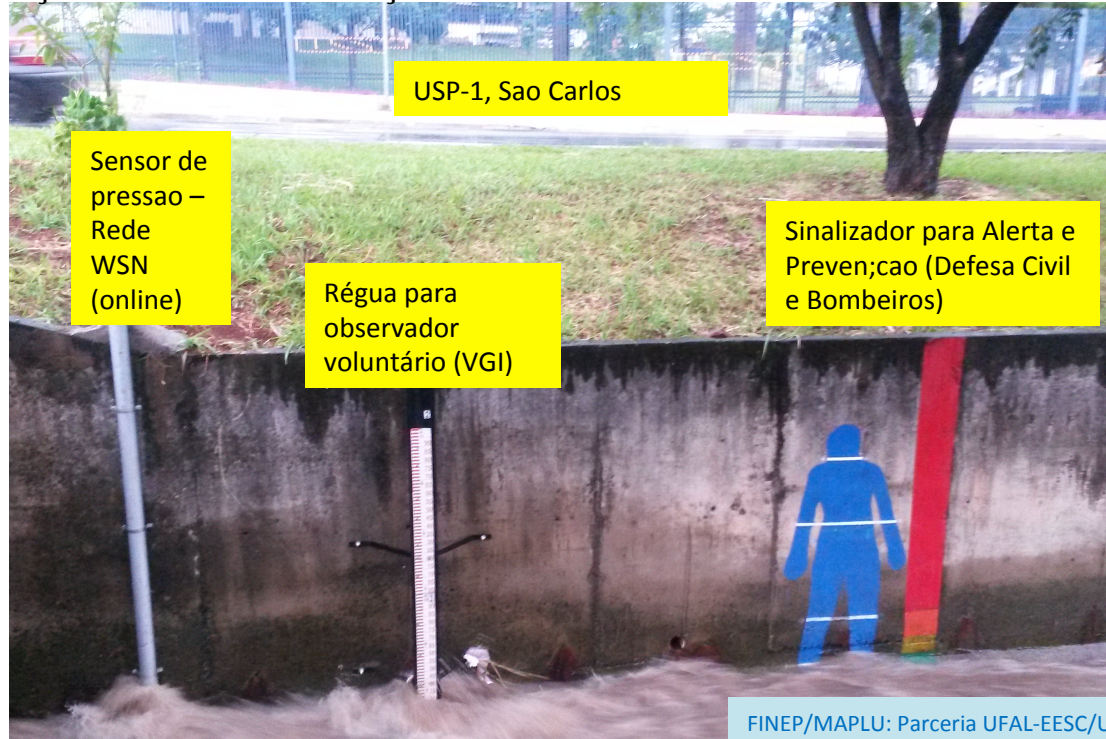


Figure 1. Layer Structure of AGORA-GeoDash

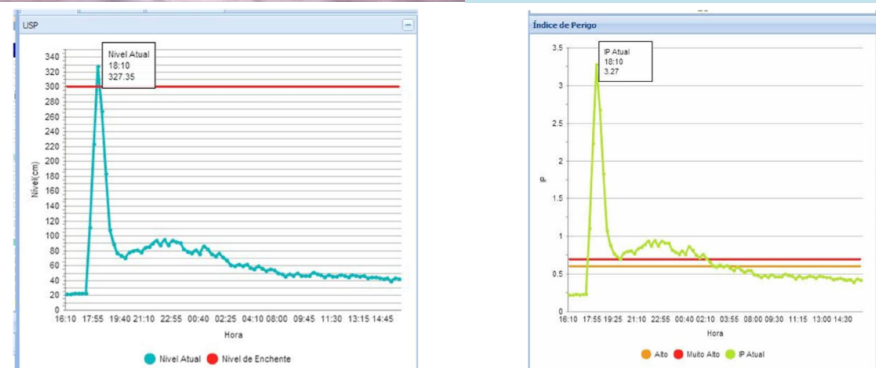


Sources: Rotava et al (2013); Horita et al (2014);
Degrossi et al (2014); Fava et al (2014)

Sistema de monitoramento fluviométrico em tempo real com sinalização para prevenção de riscos de inundações urbanas



FINEP/MAPLU: Parceria UFAL-EESC/USP



Executado: 95%

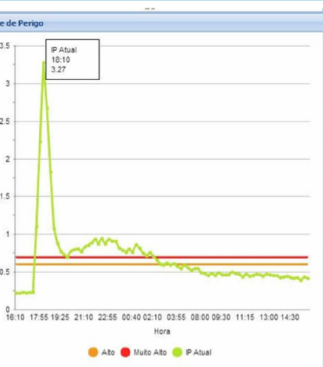
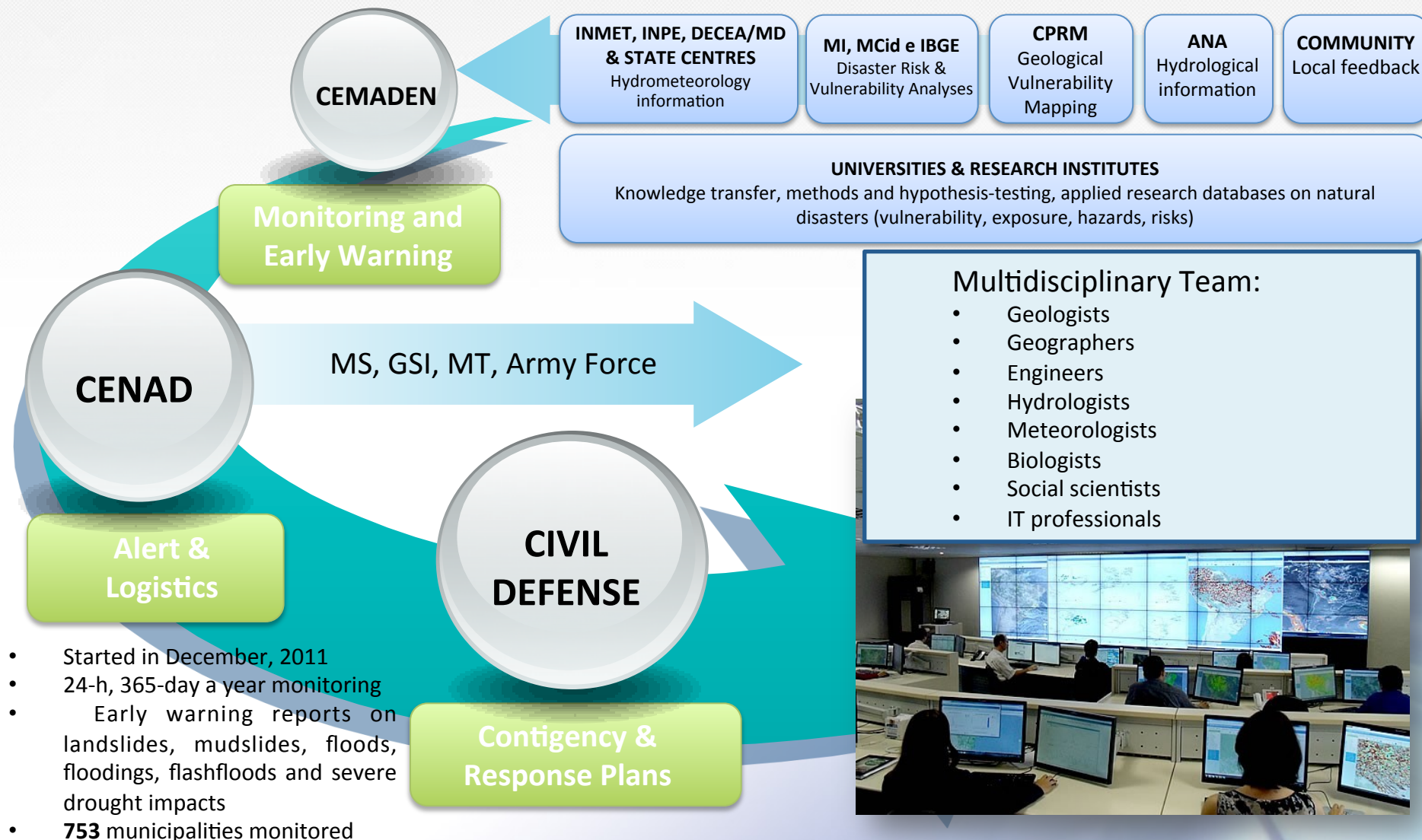


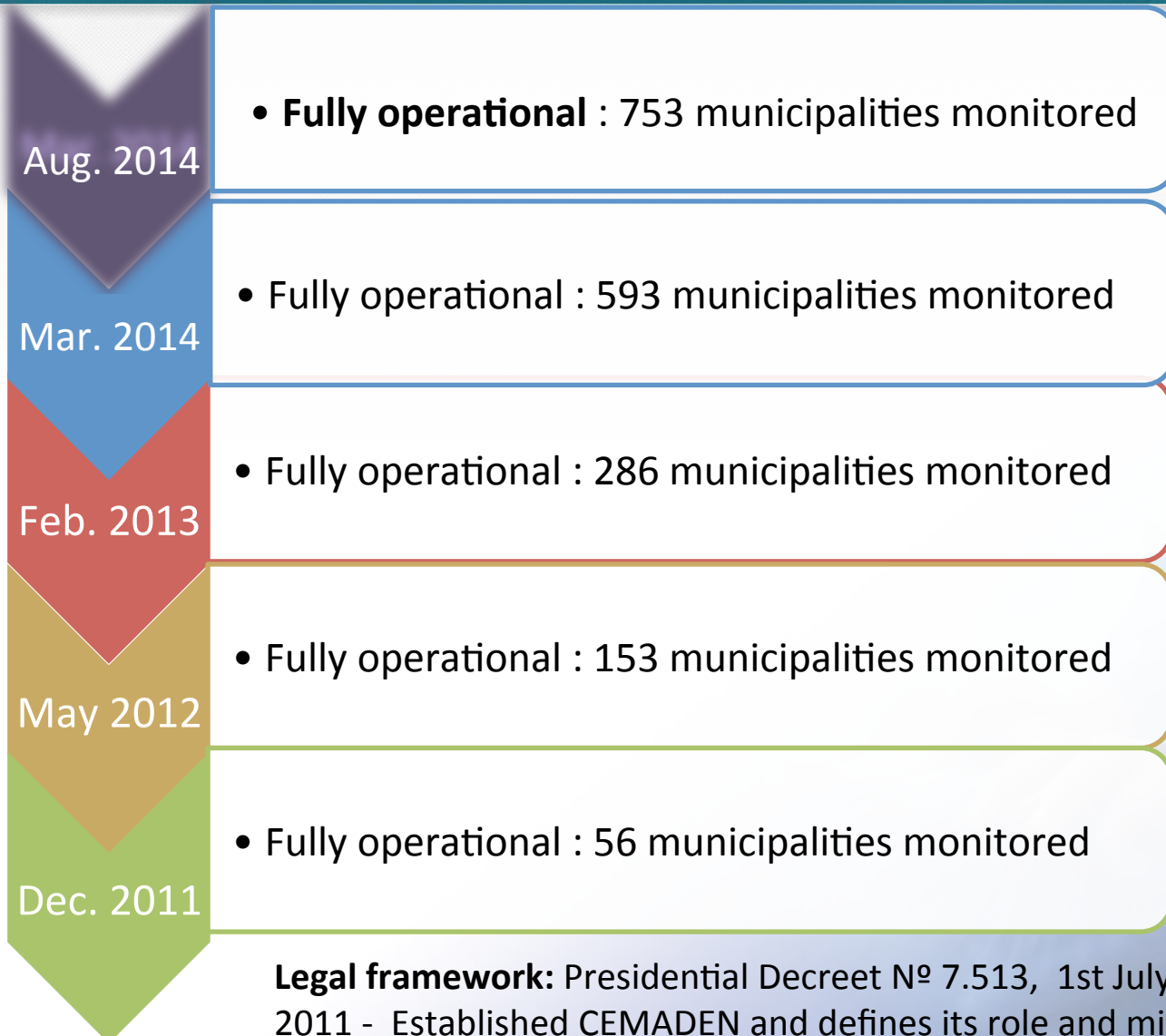
Figure 2. Geosensor Dashboard of AGORA-GeoDash

Figure 5. Indicator (a) for the height of the river and Hazard Index (b) shown by Geosensor Dashboard during the period of the flood recorded in São Carlos/SP on October 22-23, 2013.

Adaptation Mechanisms through the National Strategy for Disaster Risk Management



CEMADEN HISTORICAL OVERVIEW and 24-h MONITORING



Research lines in CEMADEN

Hydrology

- Flood risks mapping
- Determination of rainfall thresholds for the occurrence of the flashfloods
- Hydrologic forecasts using distributed hydrological models
- Probabilistic forecasts using hydrological models

Meteorology

- Improved estimation of rainfall (QPE) based on radar information
- Improvements in the parameterization of mesoscale atmospheric models
- Application of agro-meteorological models to detect crop failure in the brazilian semiarid

Plano Nacional de Gestão de Riscos e Resposta a Desastres Naturais

Radares Meteorológicos e Pluviômetros Automáticos



SIVAM

Manaus
Porto Velho
Belém
Boa Vista
São Gabriel
Tefé
Tabatinga
Santarém
Macapá
Cruzeiro do Sul
São Luís

CTH

Salesópolis

UNESP

Bauru
Presidente Prudente

SIMEPAR

Teixeira Soares

CEMADEN

Lote I

Natal - RN
Maceió - AL
Salvador - BA

Lote II

Santa Terezinha - ES
Almenara - MG
Três Marias - MG

Lote III

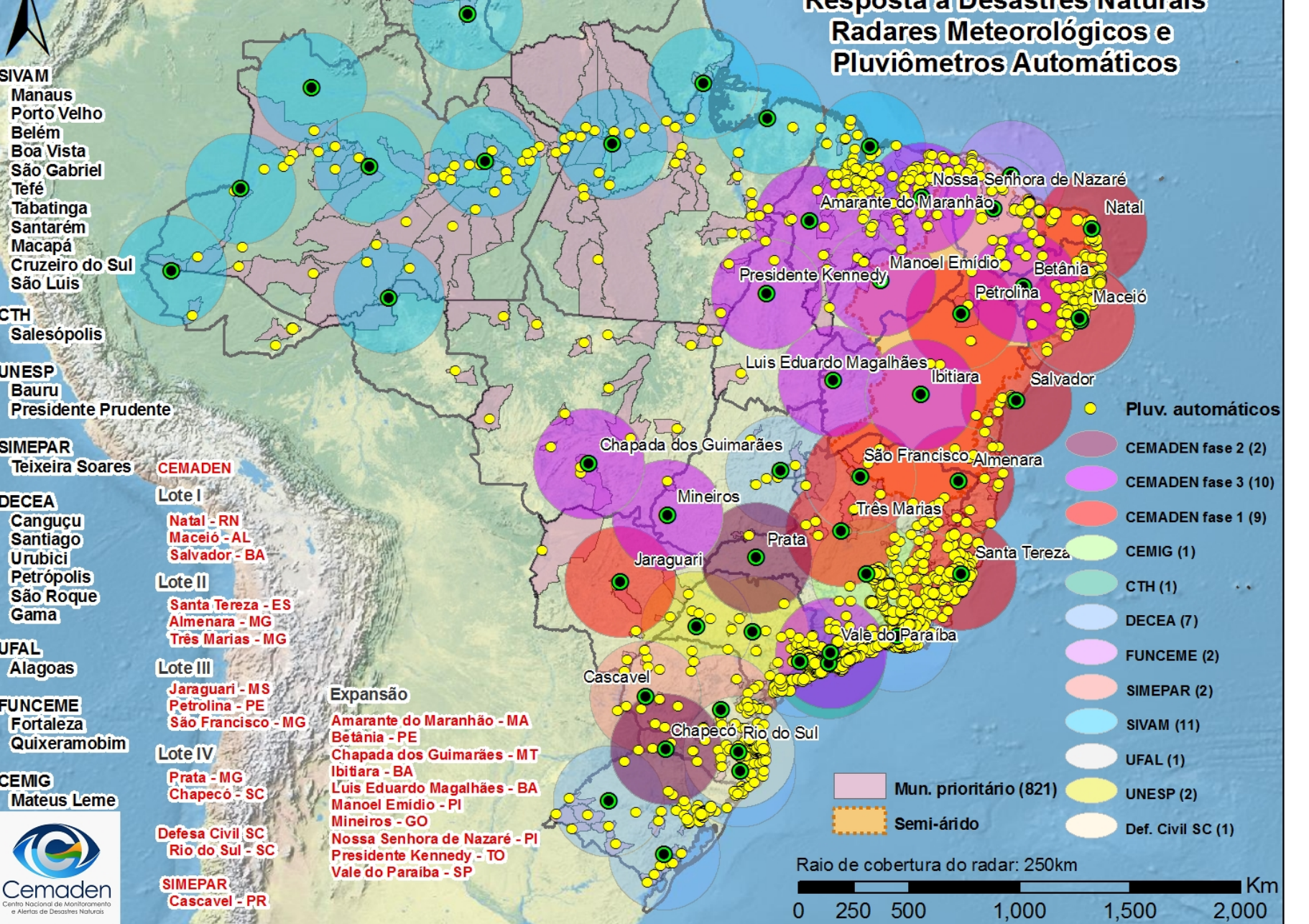
Jaraguari - MS
Petrolina - PE
São Francisco - MG

Lote IV

Prata - MG
Chapecó - SC

Defesa Civil SC
Rio do Sul - SC

SIMEPAR
Cascavel - PR



Tijuco Urban Creek Pilot Project, Sao Carlos, SP, Brazil

Costs of Restoration Project based in PES, Ecohydrology and Water Footprint is ca. 10% of total environmental services provided from the catchment

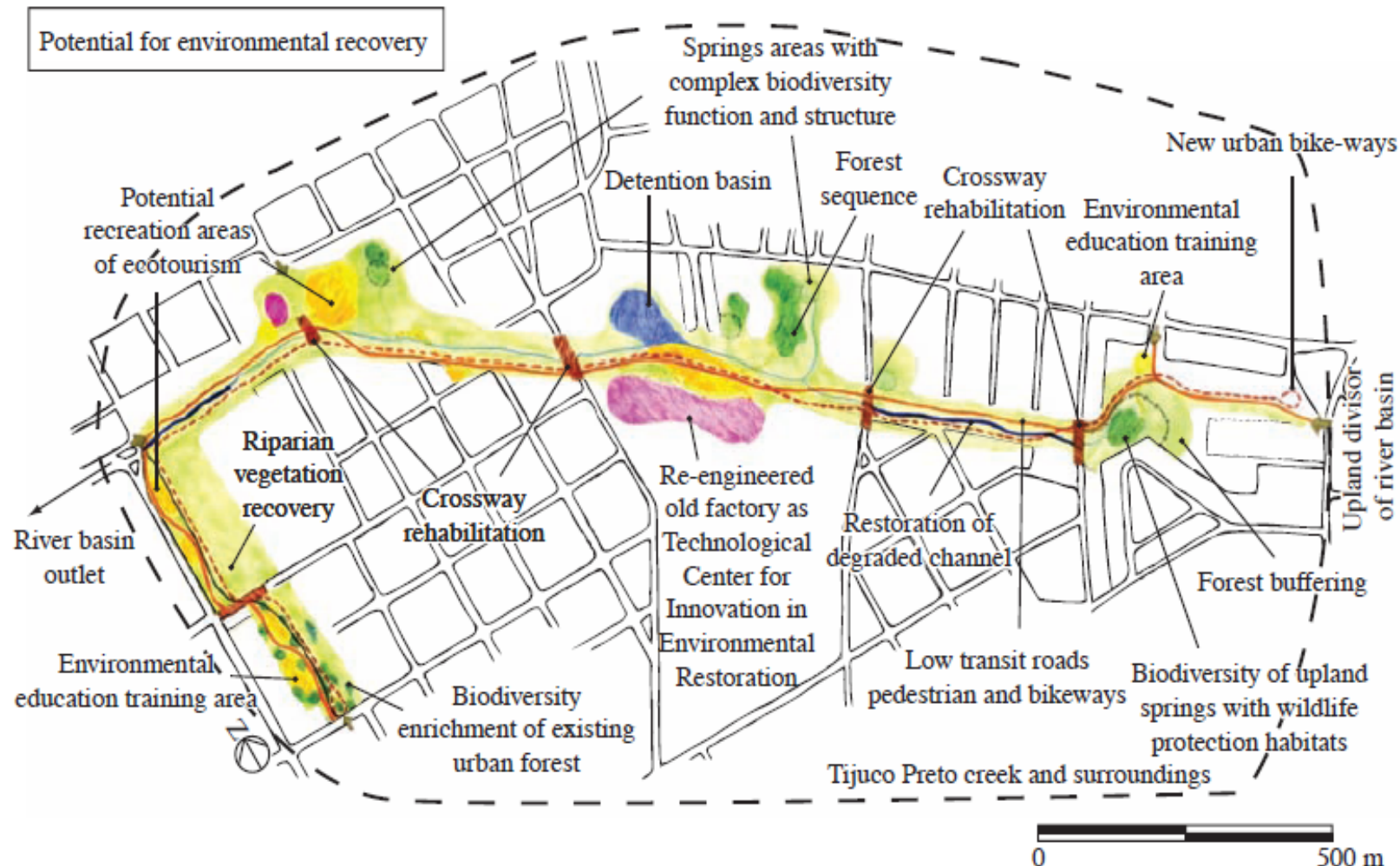
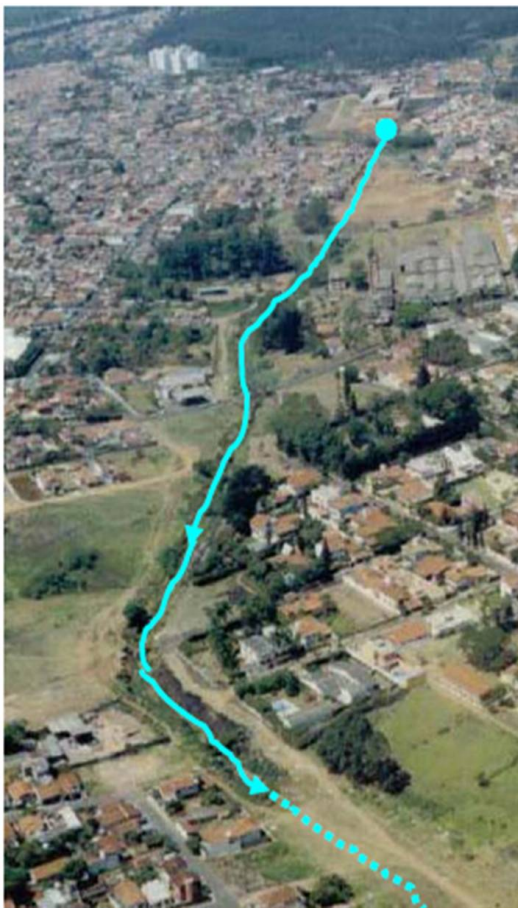


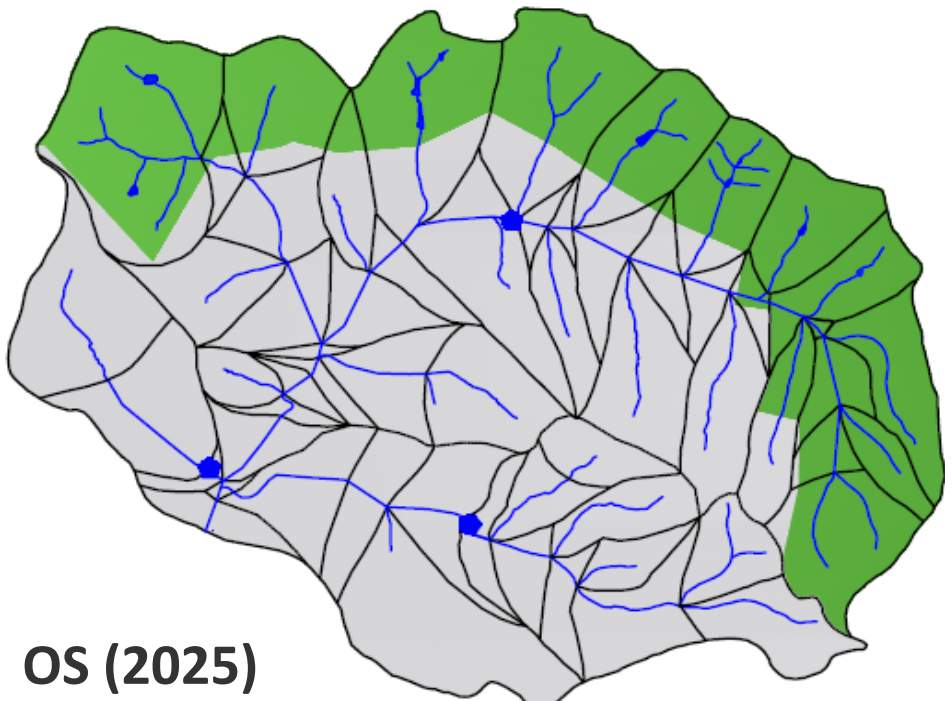
Figure 2. A perceptual approach of local environmental projects to restore biodiversity loss at urban micro-catchment of Tijuco Preto Creek, Sao Carlos, Brazil. Total specific cost of biodiversity restoration project was calculated in 2.5 million US\$/km² of drainage area of river basin. Total environmental services of urban catchment are estimated in ca. 28 to 33 million US\$/km². Source FIPAI-PMSC (2005).

Proactive Scenario based on PES, Ecohydrology and Water Footprint

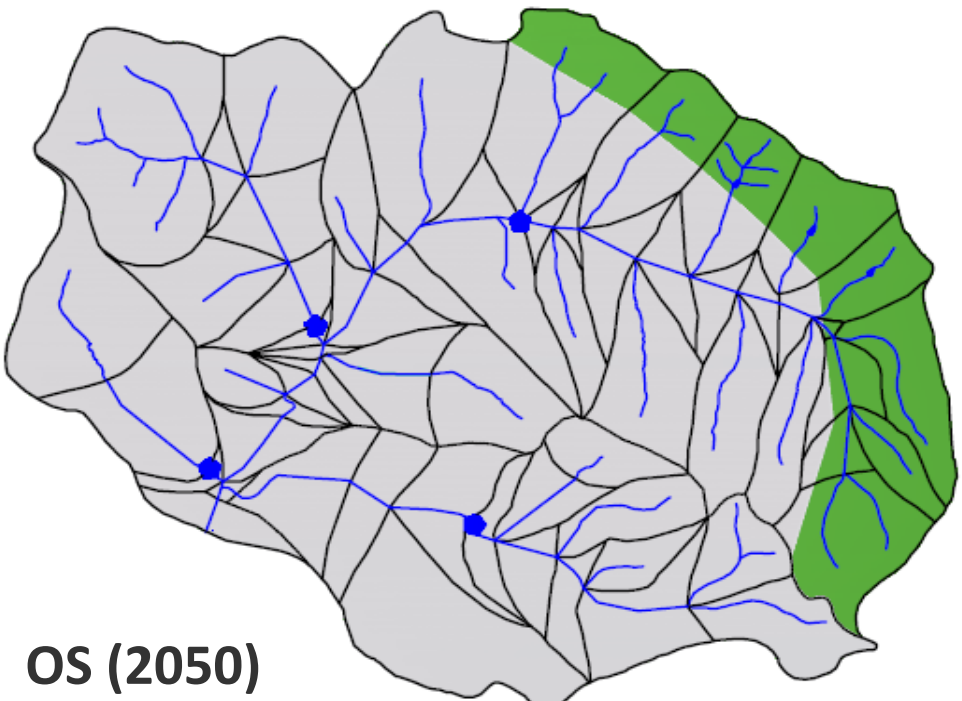
- Citizenship participation to empower urban river restoration in Tijuco Preto Creek



Fonte: ProTijuco PMSC-FIPAI-EESC/USP 2003

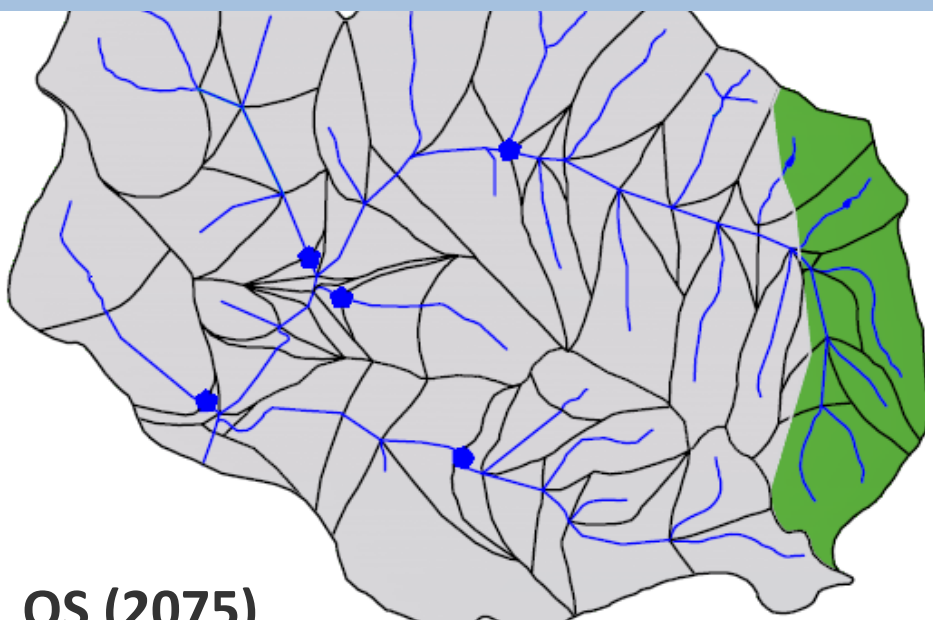


OS (2025)

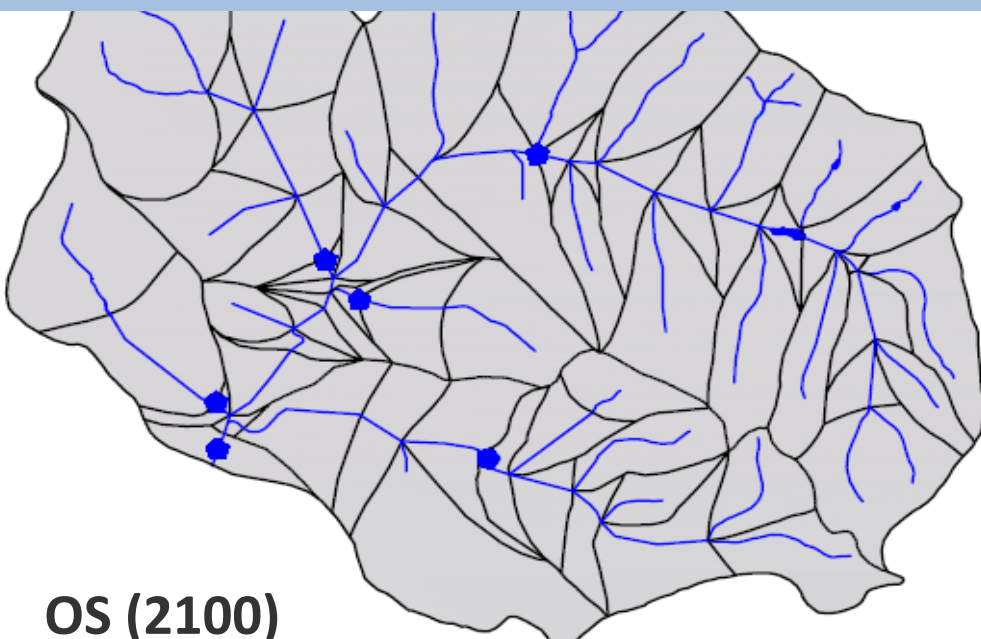


OS (2050)

Oportunidades para o futuro – como planejar estratégicamente (SEM CONTROLE)?

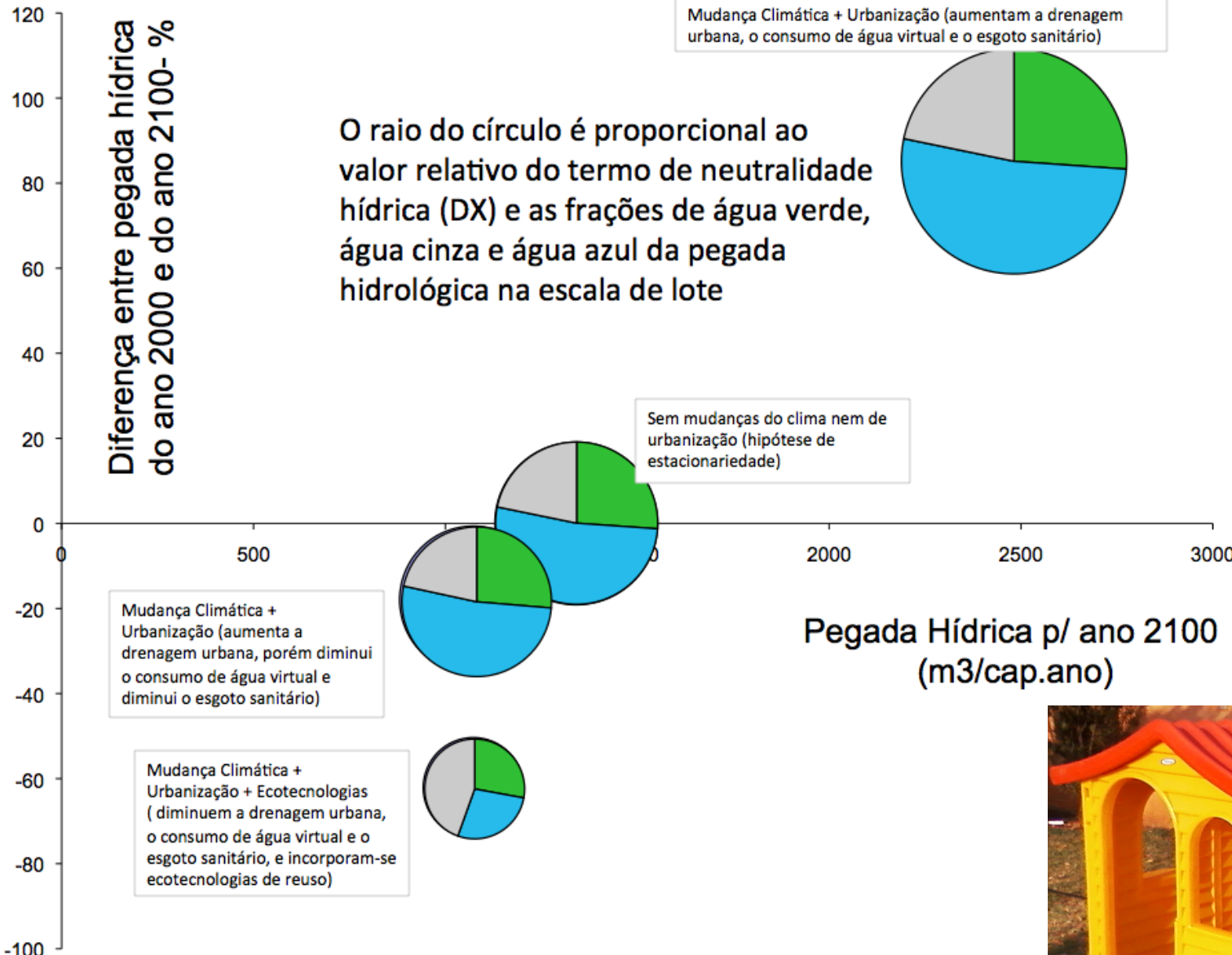


OS (2075)



OS (2100)

Oportunidades para o futuro – como planejar estratégicamente?



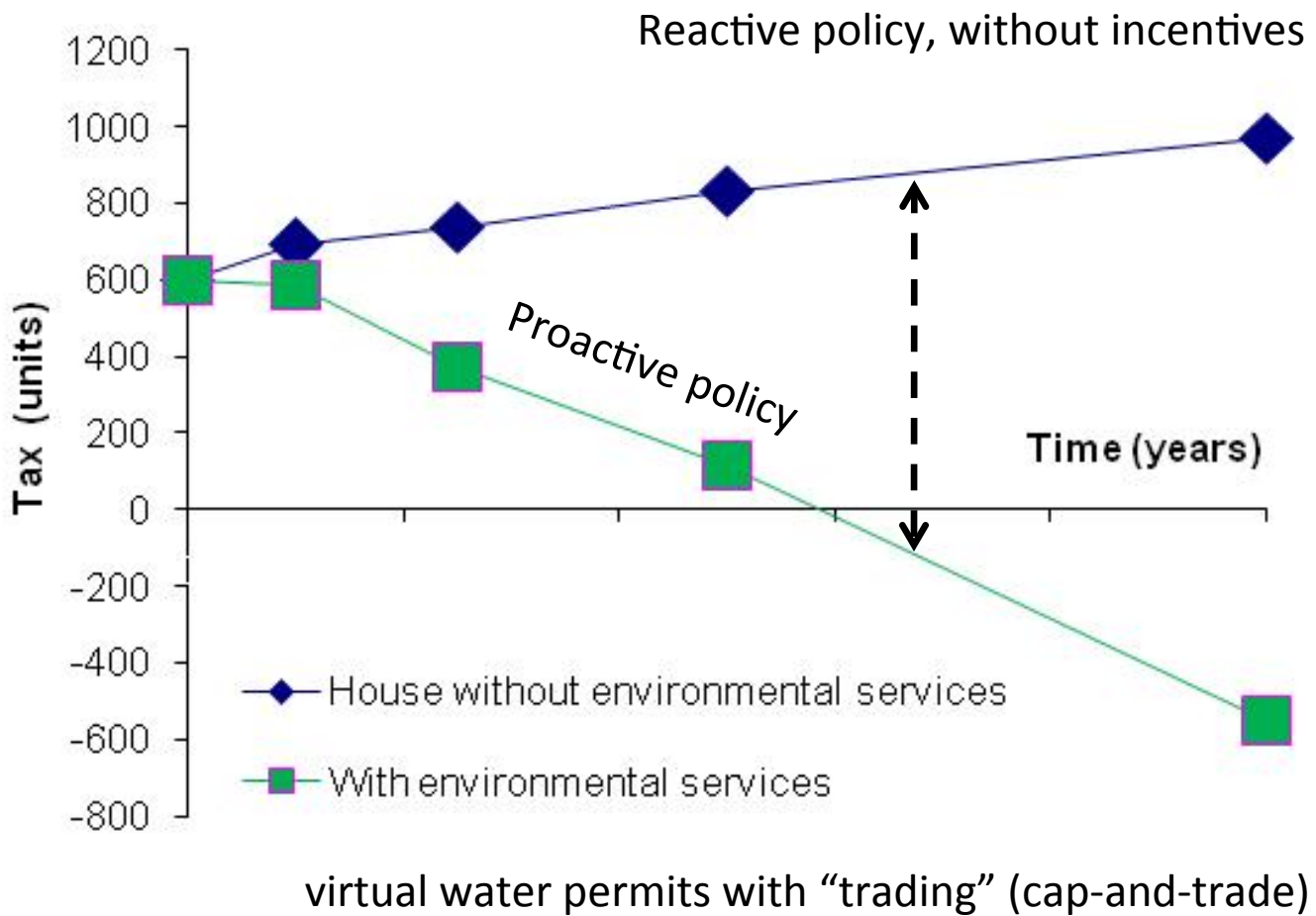
Oportunidades para o futuro – como planejar estrategicamente?

Urban Drainage Taxes = Function (PES, Ecohydrology, Water Footprint)

Water Incentives, Security & Entitlements for User's Permits

Reactive policy:
“Polluter pays”

Proactive policy:
“Water producer”
(related to PES,
Ecohydrology and
Water Footprint)

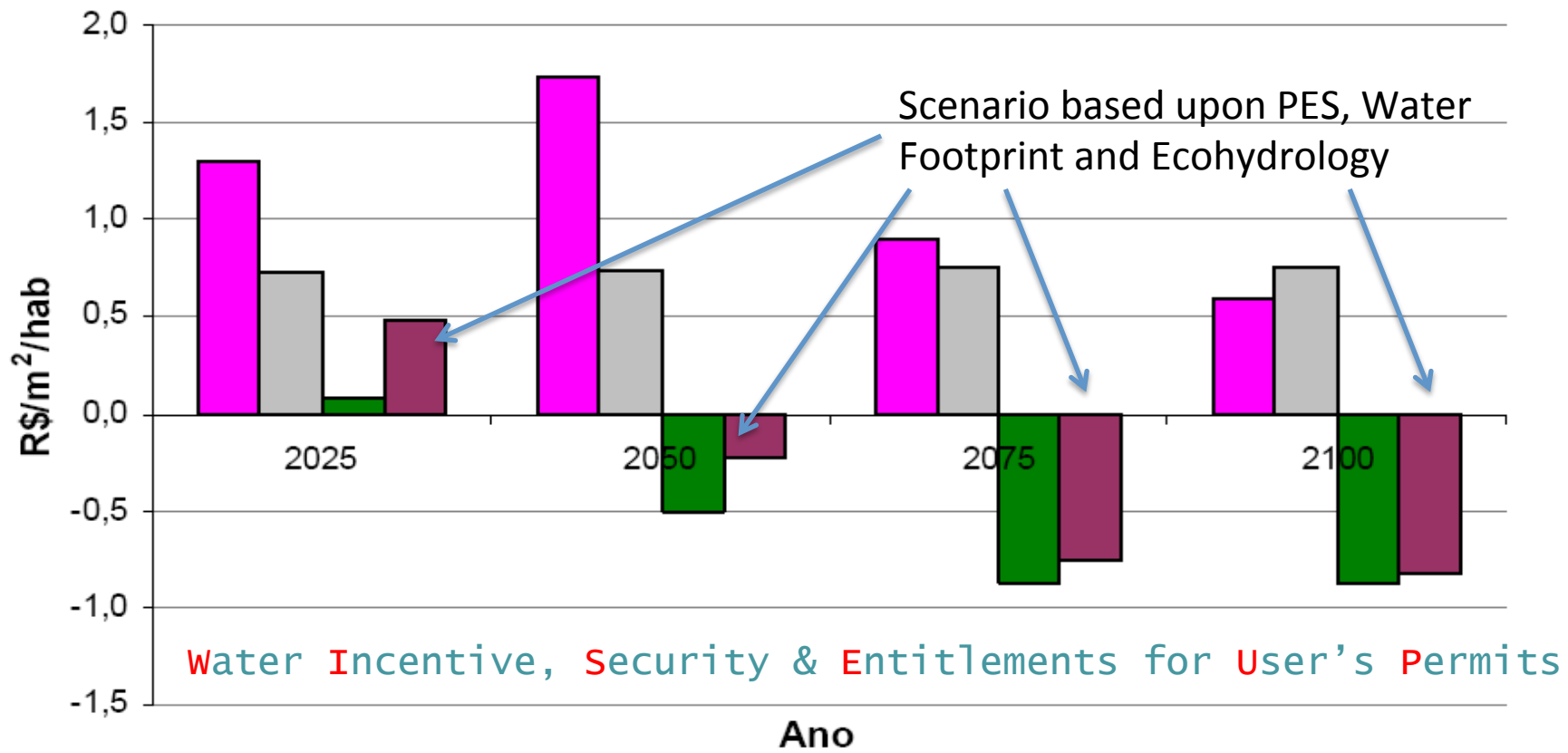


Sources: adapted from Souza (2008),
Kawatoko & Mendiondo (2014)

Incentives for PES, Ecohydrology and Water Footprint in urban taxes planning for the period 2000-2100

Case Study from Urban Lot in São Carlos City, SP Brazil*

IPTU/área de lote/habiente



Source: Kawatoko & Mendiondo (2014)

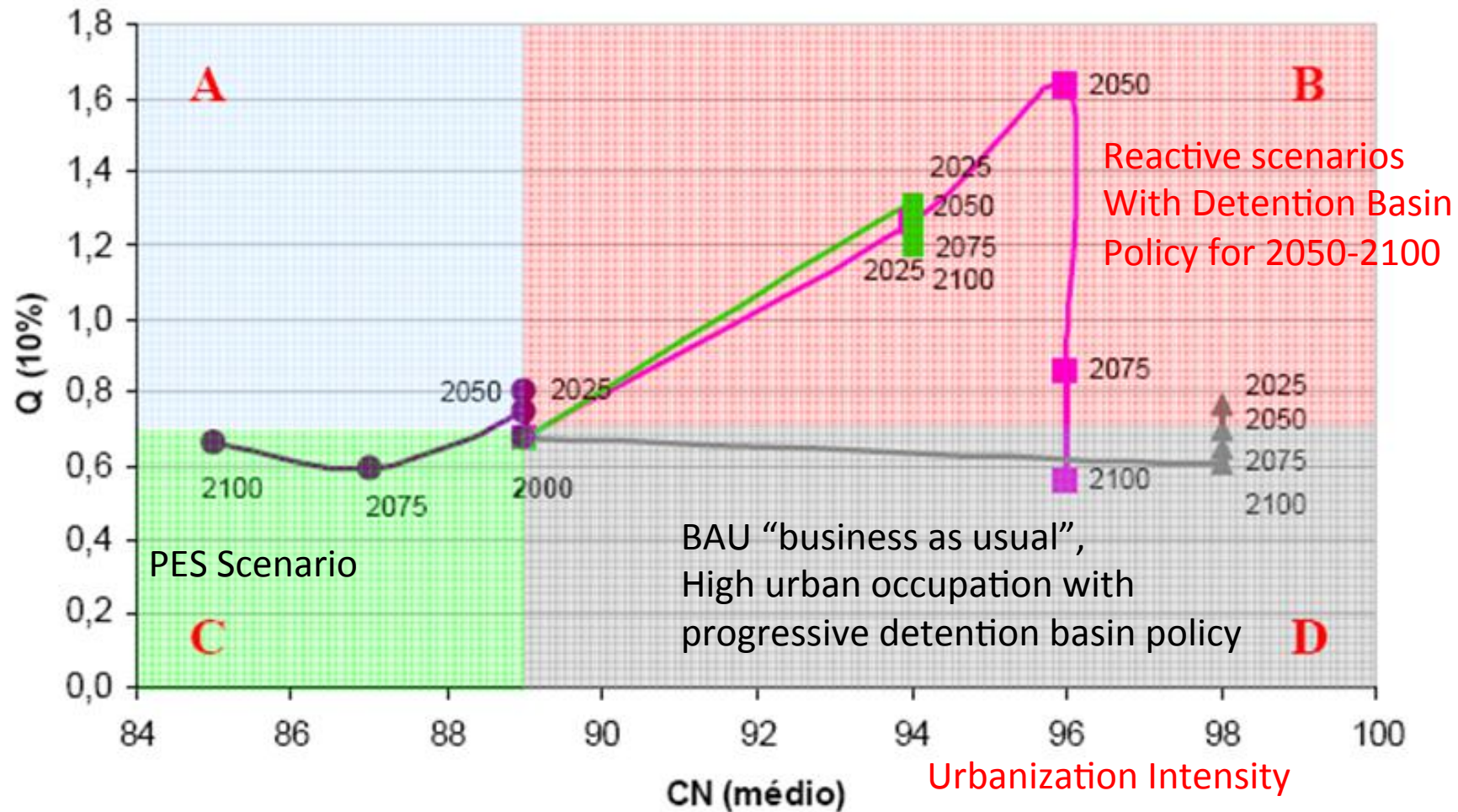
* for a urban residence, nominal values, without amortization costs, adapted from Souza & Mendiondo (2008)

Oportunidades para o futuro – como planejar estratégicamente?

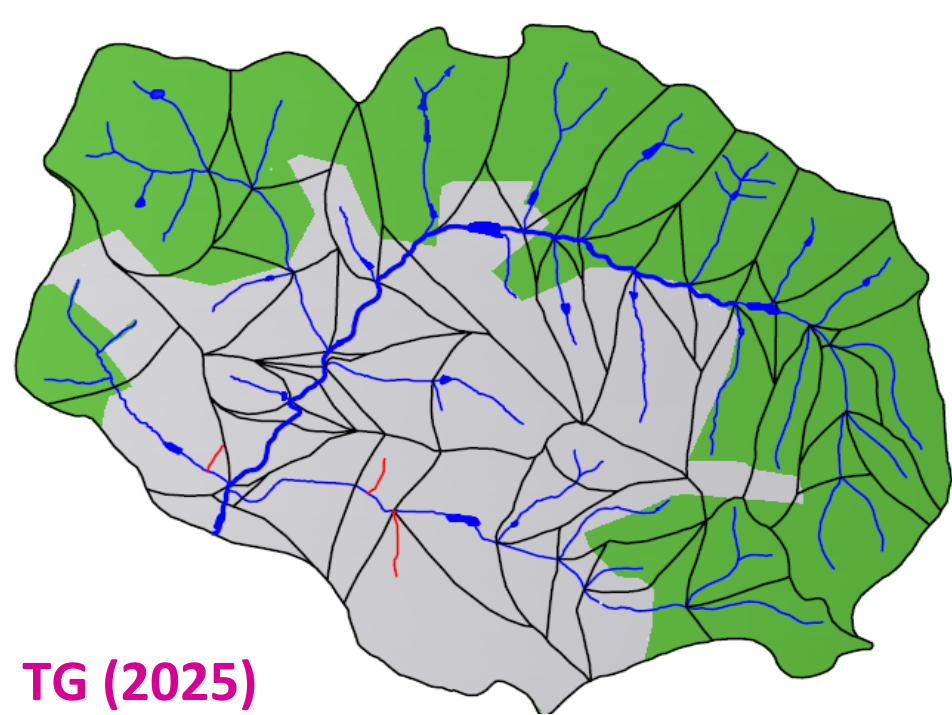
Example of Long-Term Urban Drainage Planning (Year 2000 until Year 2100)

Long-Term Urban Flood Peaks

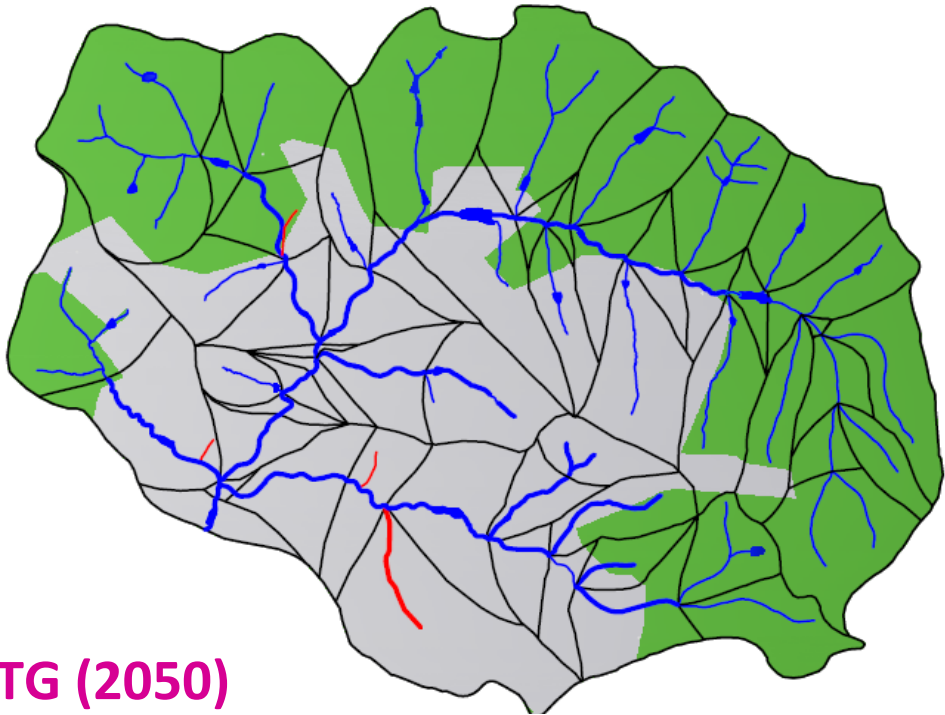
Bacia Gregório - 17 km²



Source: Souza (2008)

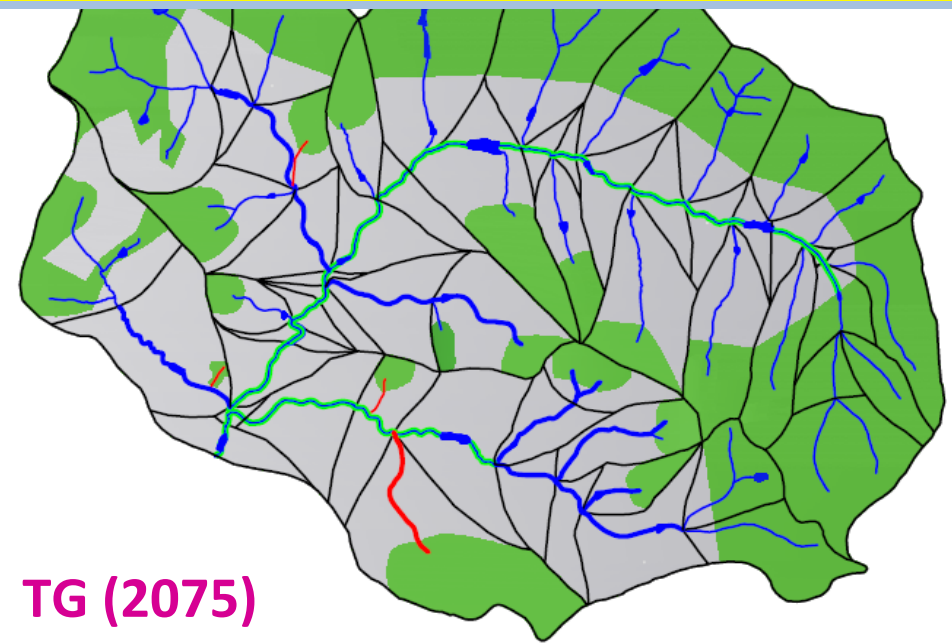


TG (2025)

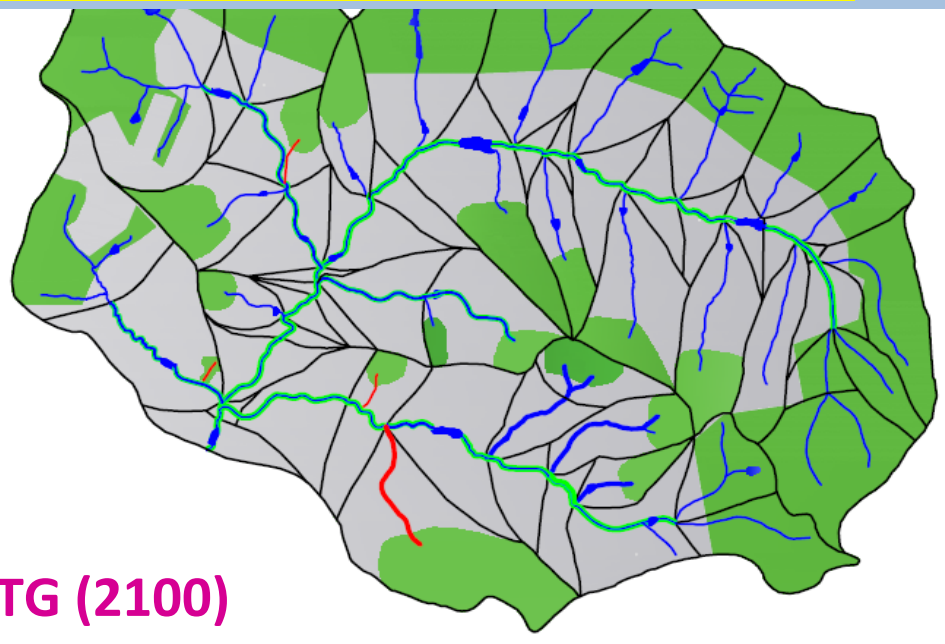


TG (2050)

Oportunidades para o futuro – como planejar estratégicamente (COM CONTROLE)?



TG (2075)



TG (2100)

Resilient Infrastructure under Long-Term Changes depending upon policy scenarios for sustainable development: Example of “WaterResilientAdaptometers”

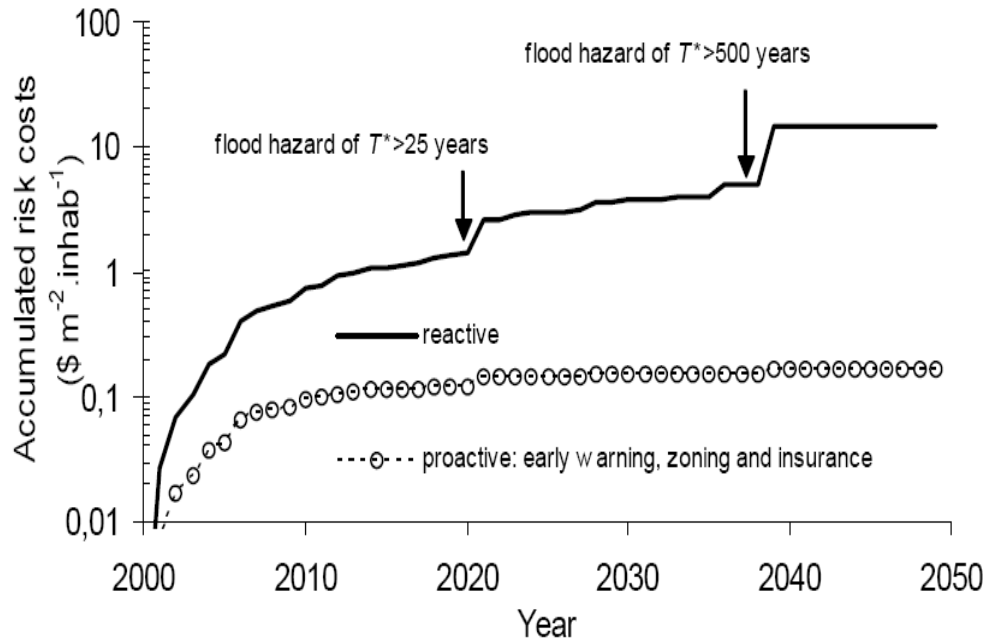
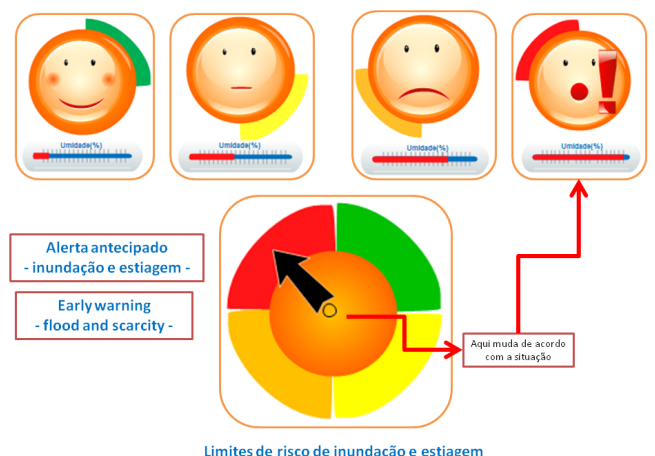
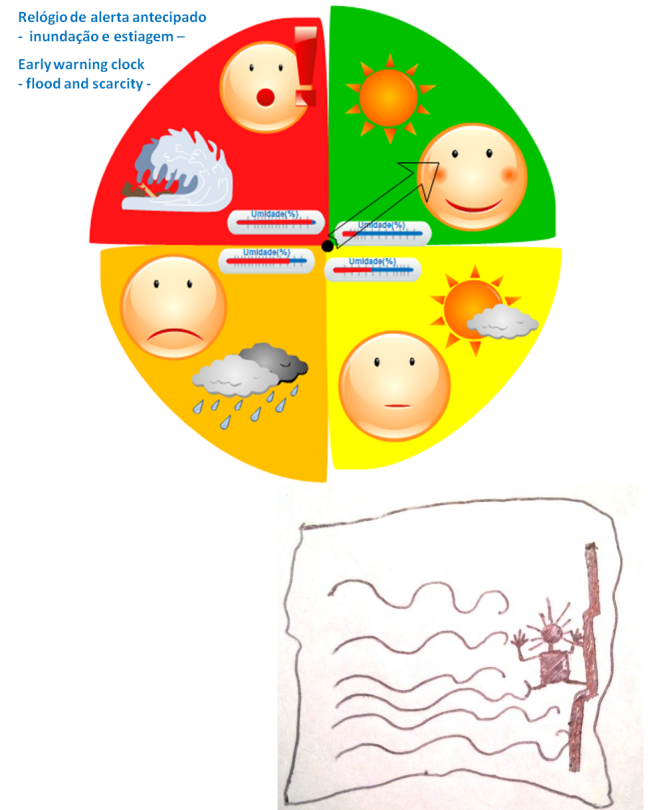


Figure 3- Simulation of accumulated nominal costs from two policy scenarios of risk management to cope with flood hazards and with growing urbanization at a subtropical basin. Proactive policies have early warning systems, land zoning of flood prone areas and insurance for risk-transfer. Adapted from Mendiondo *et al* (2005).

Assessed-and-Managed-Risk Indicators step (AMRI) gathers composite indicators of assessing and managing risks in order to perform scenario runs under policy options (Mendiondo, 2010).



Water Resilience Opportunity-WRO

- *Water Resilience Opportunity*: adaptation capacity of comparing $PWRI_{IVA}$ values over time between reactive and proactive scenarios.
- WRO lets monetary values be included, demonstrative pilot experiments like signboards or web-mapping collaborative scores can be further developed from this $PWRI_{IVA}$.

Component	Scenario development for period 2010-2100 (horizontal axis)			
	Global Orchestration (GO)	Order from Strength (OS)	Adapting Mosaic (AM)	Technogarden (TG)
Flood prone areas impacted (total area degraded)				
Direct Drivers:				
Hard Flood Control	++	0	0 → - + → 0	+ → 0 0
Risk Exposition	+	++	+	+
Climate Change	++	+	+ → 0	+
Land-use Change	+	++	+ → 0	0
FPC threats (frequency of flood disasters)				
Major Drivers:				
Poverty	-	--	+ → 0 + 0	0
Climate Change	+	++	+ 0	0
Flood exposition	-	+	0	+
Security to cope with flood disasters				
Elements:				
Preparedness	-	--	++	+
Capacity building	0	--	+	+
Early Warning Act	0	0	+	++

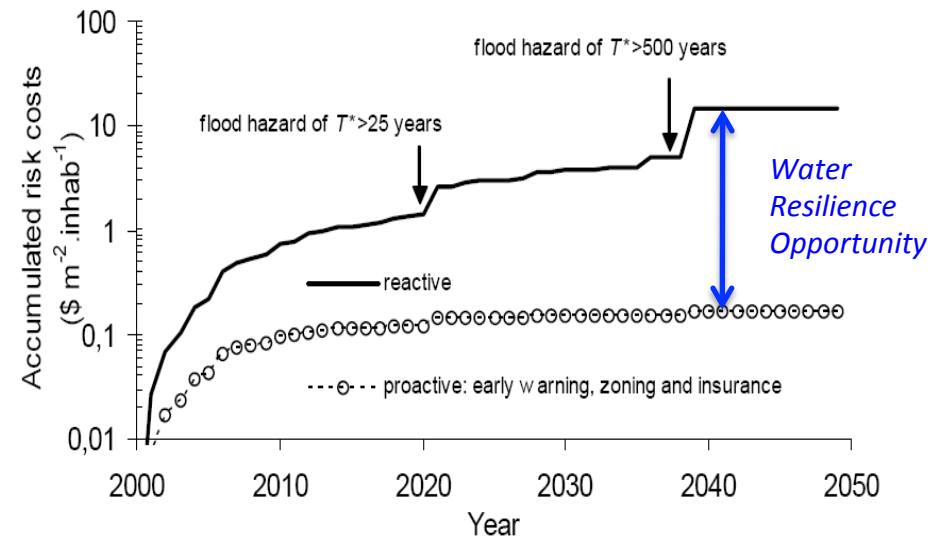
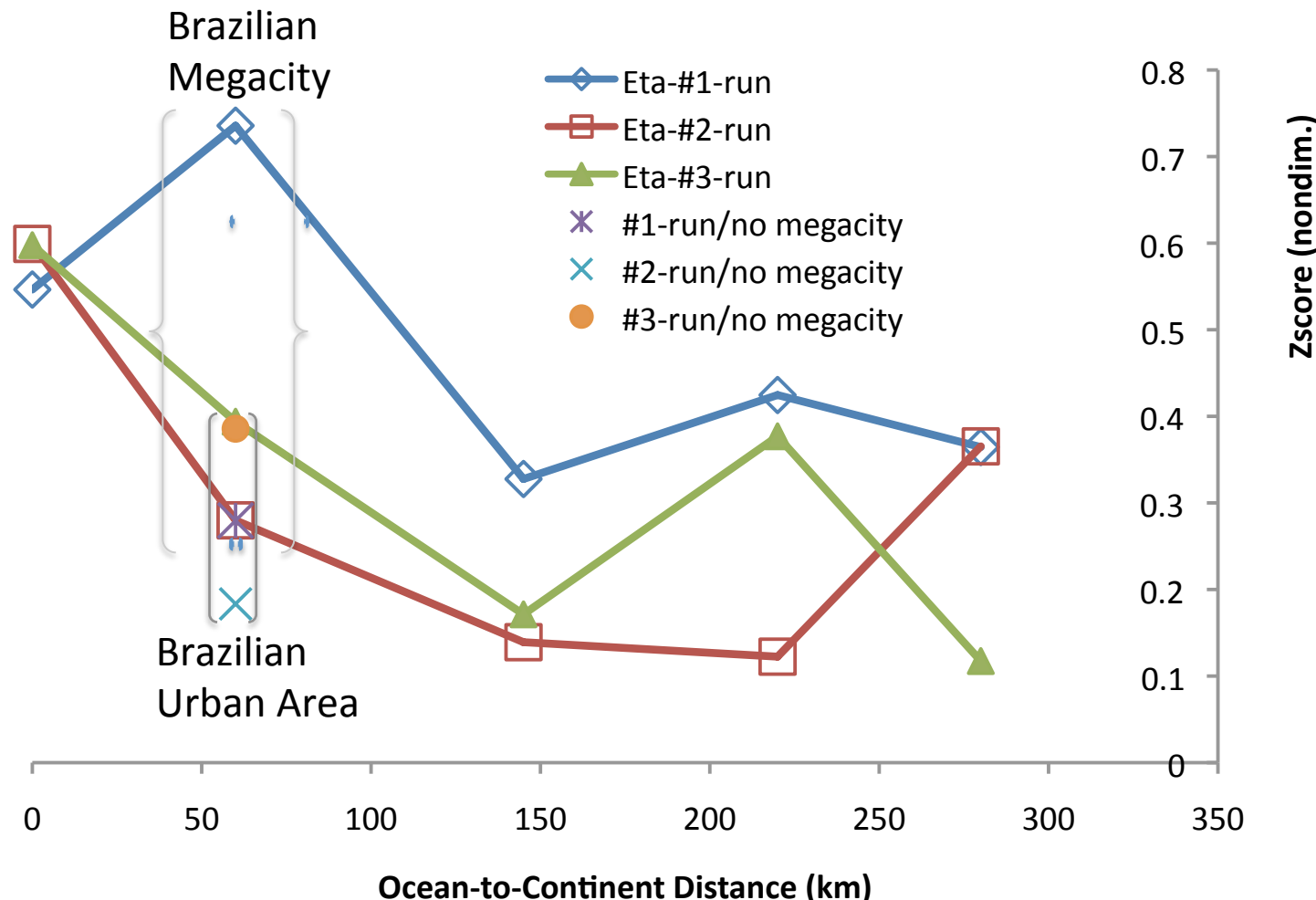


Figure 3- Simulation of accumulated nominal costs from two policy scenarios of risk management to cope with flood hazards and with growing urbanization at a subtropical basin. Proactive policies have early warning systems, land zoning of flood prone areas and insurance for risk-transfer. Adapted from Mendiondo *et al* (2005).

PWRI-F : preliminary results of spatial variability transect of water hazard across areas under change, according to Q1% ÷ Q5%

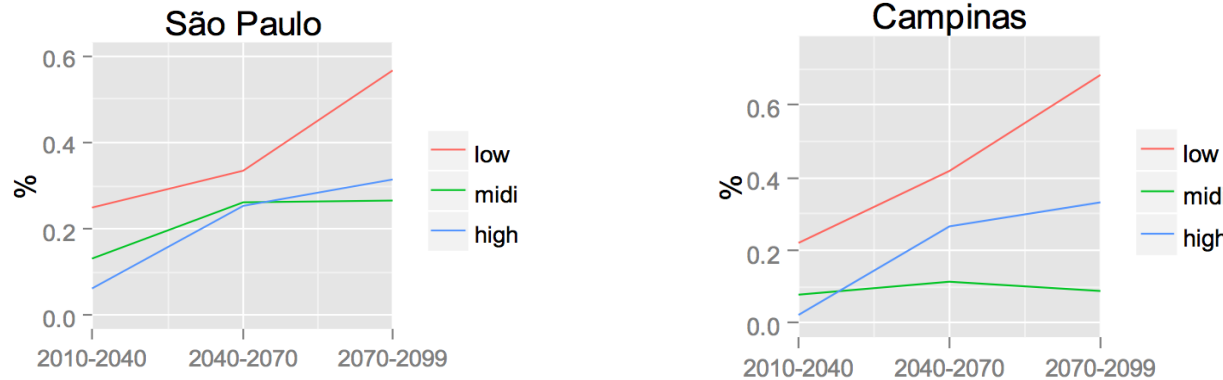
PWRI-F hazard factor (zscore) Series: 1960-1990



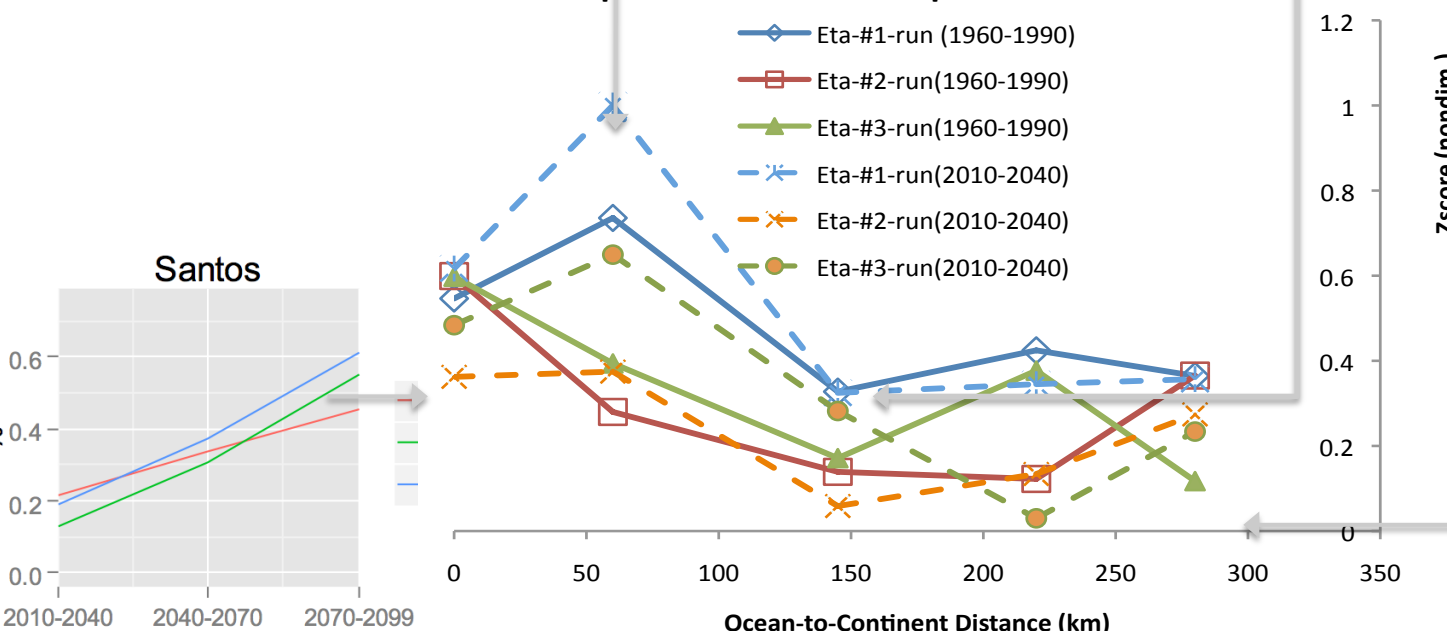
PWRI-F: uncertainties from GCM's hazard factors

Change rate between 2010-2040 & 1960-1990 periods

fraction of Q1% / Q5% (permanency curves)



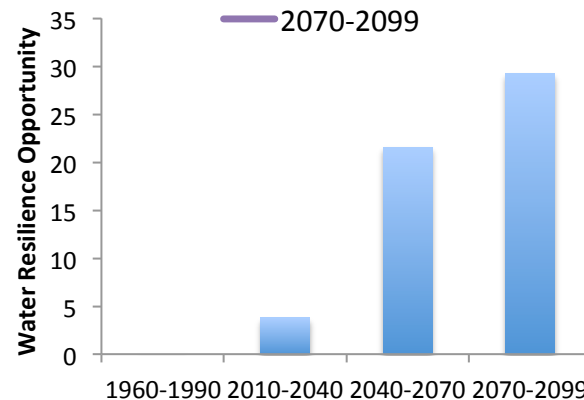
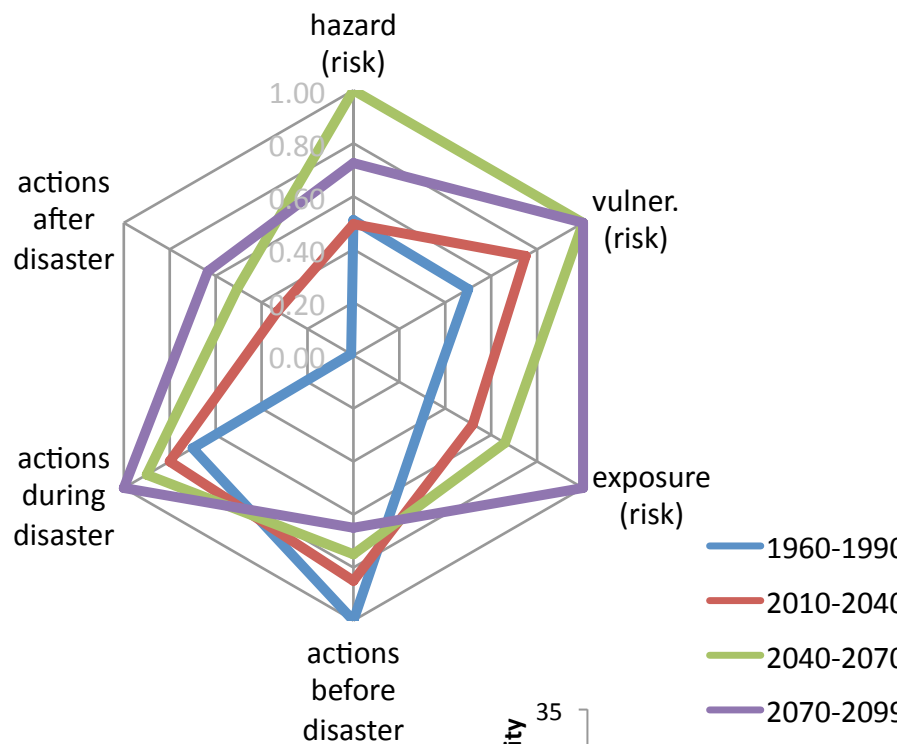
**Comparing PWRI-F hazard factor (zscore)
from period 1960-1990 to period 2010-2040**



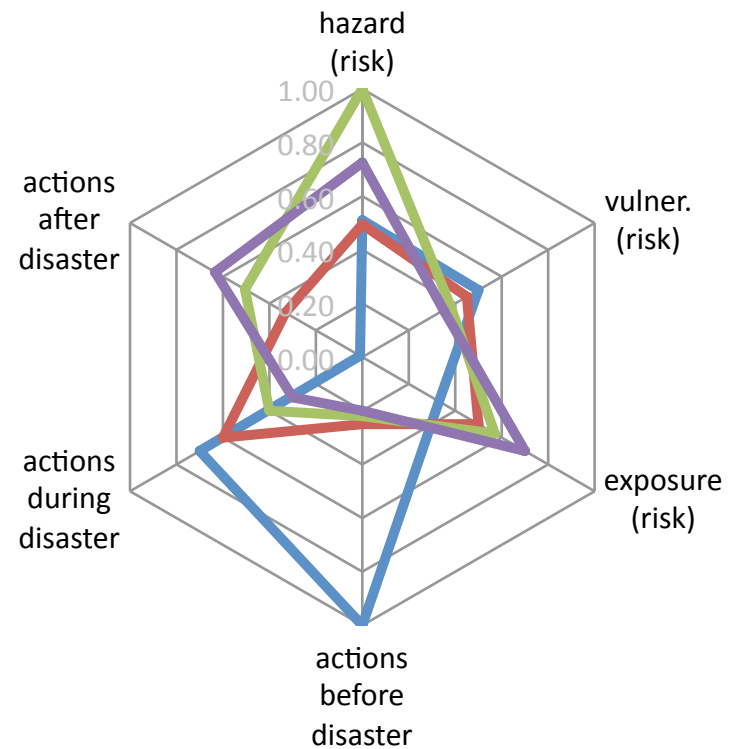
Courtesy work:
Gustavo Romero (USP)
Maria Clara Fava (USP)

PWRI-F : 1960 – 2100; reactive & proactive scenarios

PWRI-F: São Carlos; #1-run; LUC: reactive



PWRI-F: São Carlos; #1-run; LUC: proactive



PWRI/run#1

Síntese

Mensagem e Tese –

Novos Termos de Referência deverão explicitamente aceitar a participação de agentes comunitários para otimizar critérios econômicos e sócio-ambientais para subsidiar o Plano Nacional de Recursos Hídricos (ANA), em conformidade com legislação vigente (leis 9.433/97: Política Nacional de Recursos Hídricos-PNRH, lei 11.445/07: Política Nacional de Saneamento Básico-PNSB, Lei 12.187: Política Nacional de Mudança do Clima-PNMC, e Lei 12.608: Política Nacional de Proteção e Defesa Civil - PNPDEC)

Obrigado
Eduardo Mario Mendiondo
emm@sc.usp.br
emm@cemaden.gov.br

